

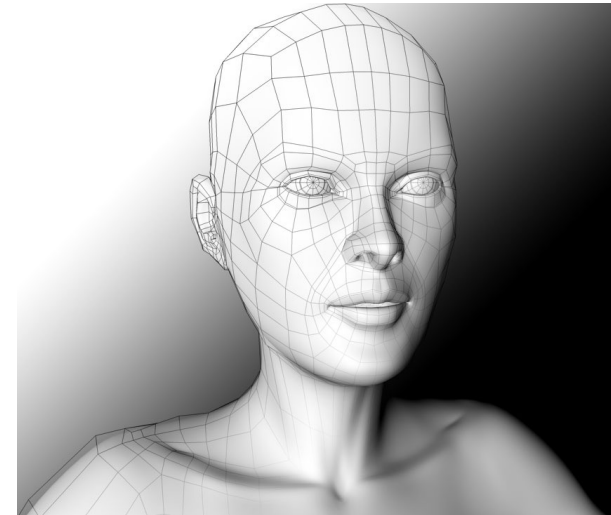
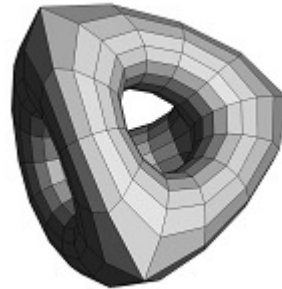
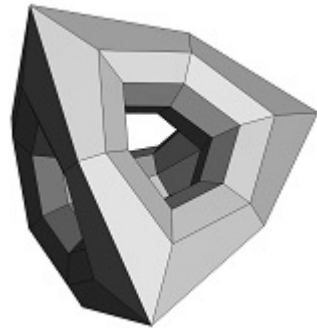
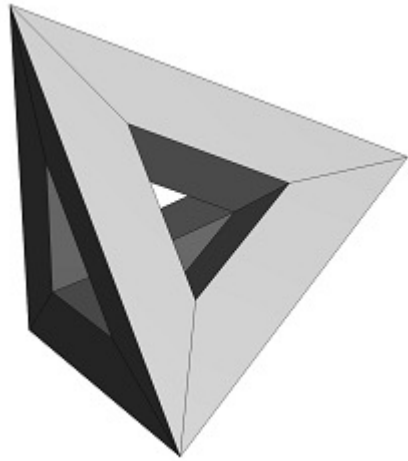
コンピュータグラフィクス論

－モデリング(2)－

2021年4月22日

高山 健志

サブディビジョン曲面

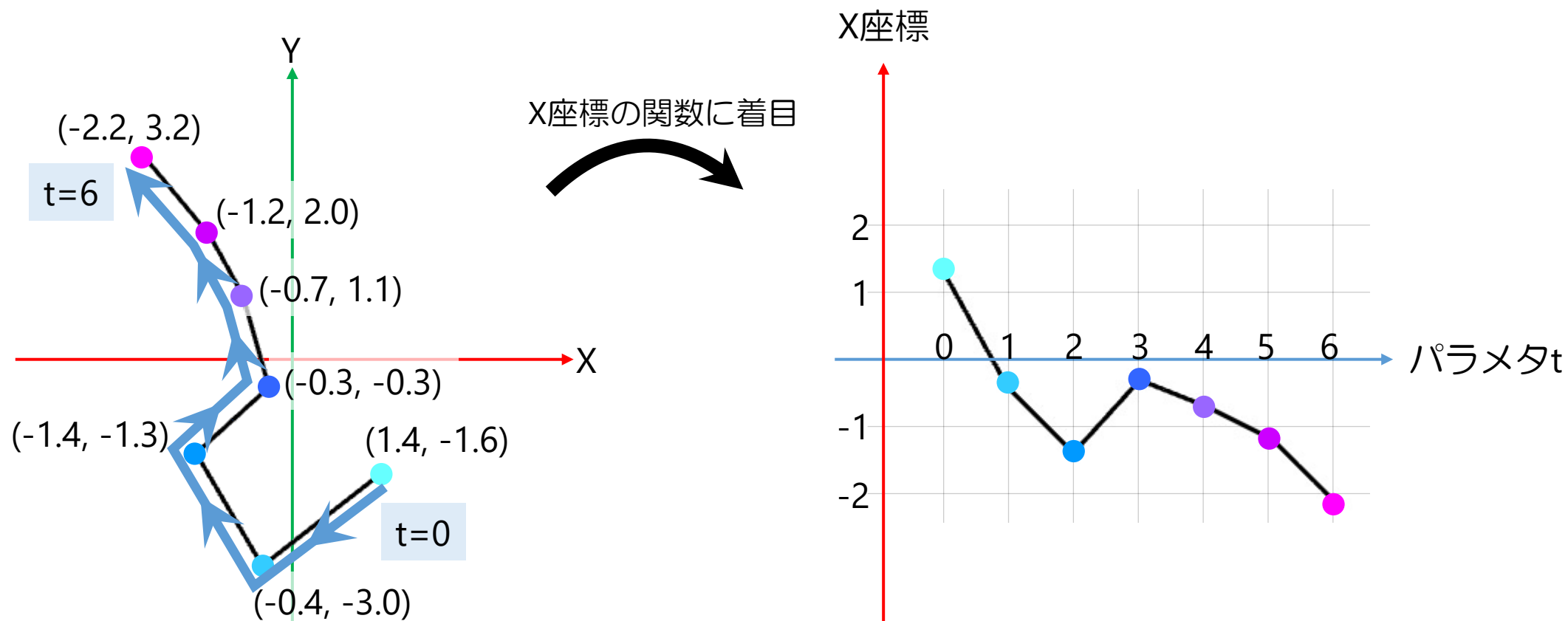


その理論的土台となる

Bスプライン曲線

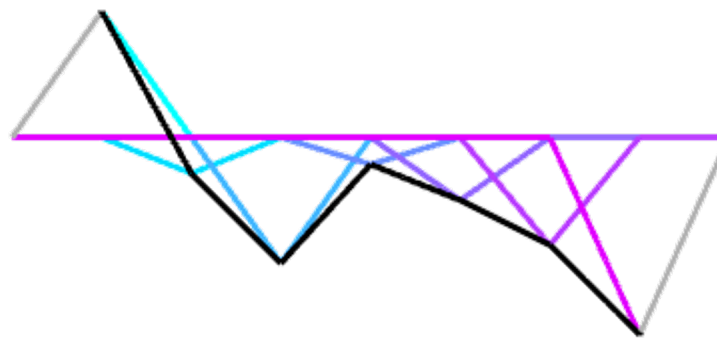
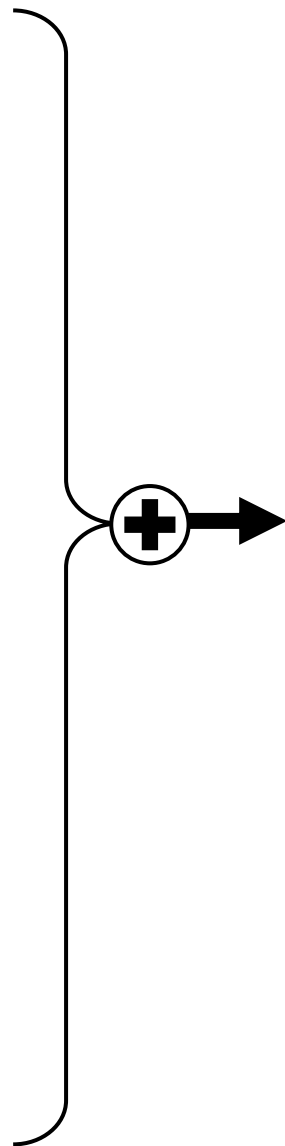
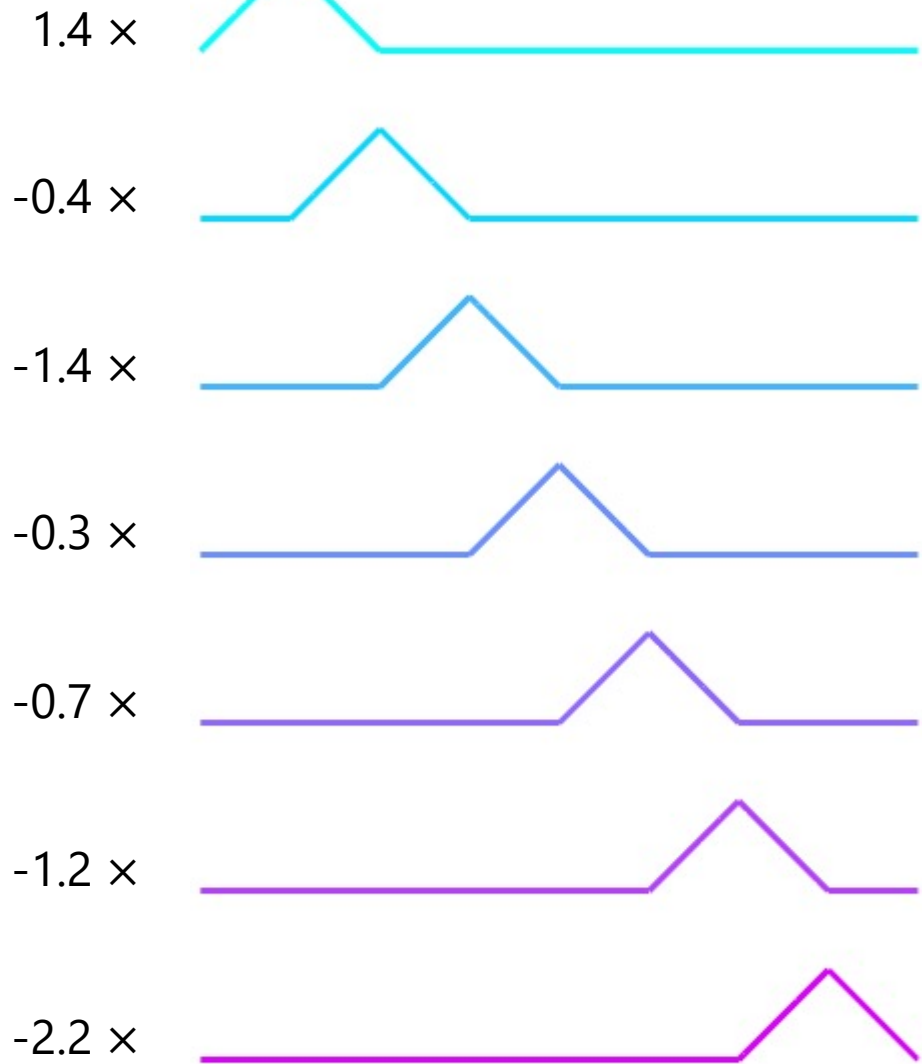
Basis, 基底

例：2Dの折れ線を関数として表現



1次の基底関数を用いた折れ線の表現

X座標



de Boor の n次基底関数

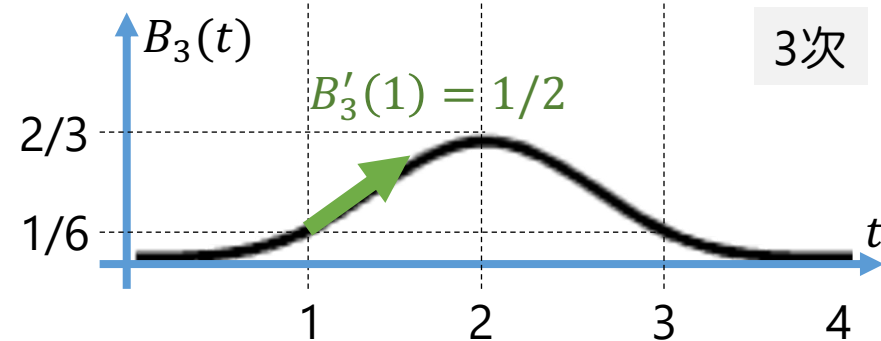
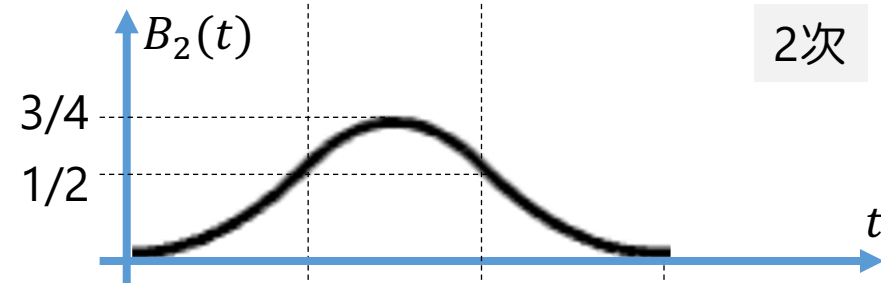
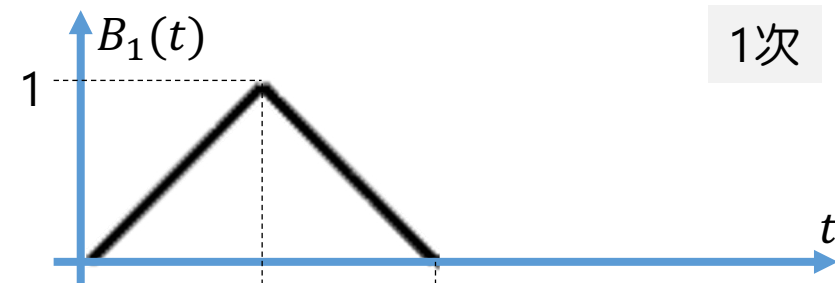
- 再帰的な定義：

- $B_0(t) = \begin{cases} 1, & 0 \leq t < 1 \\ 0, & \text{otherwise} \end{cases}$

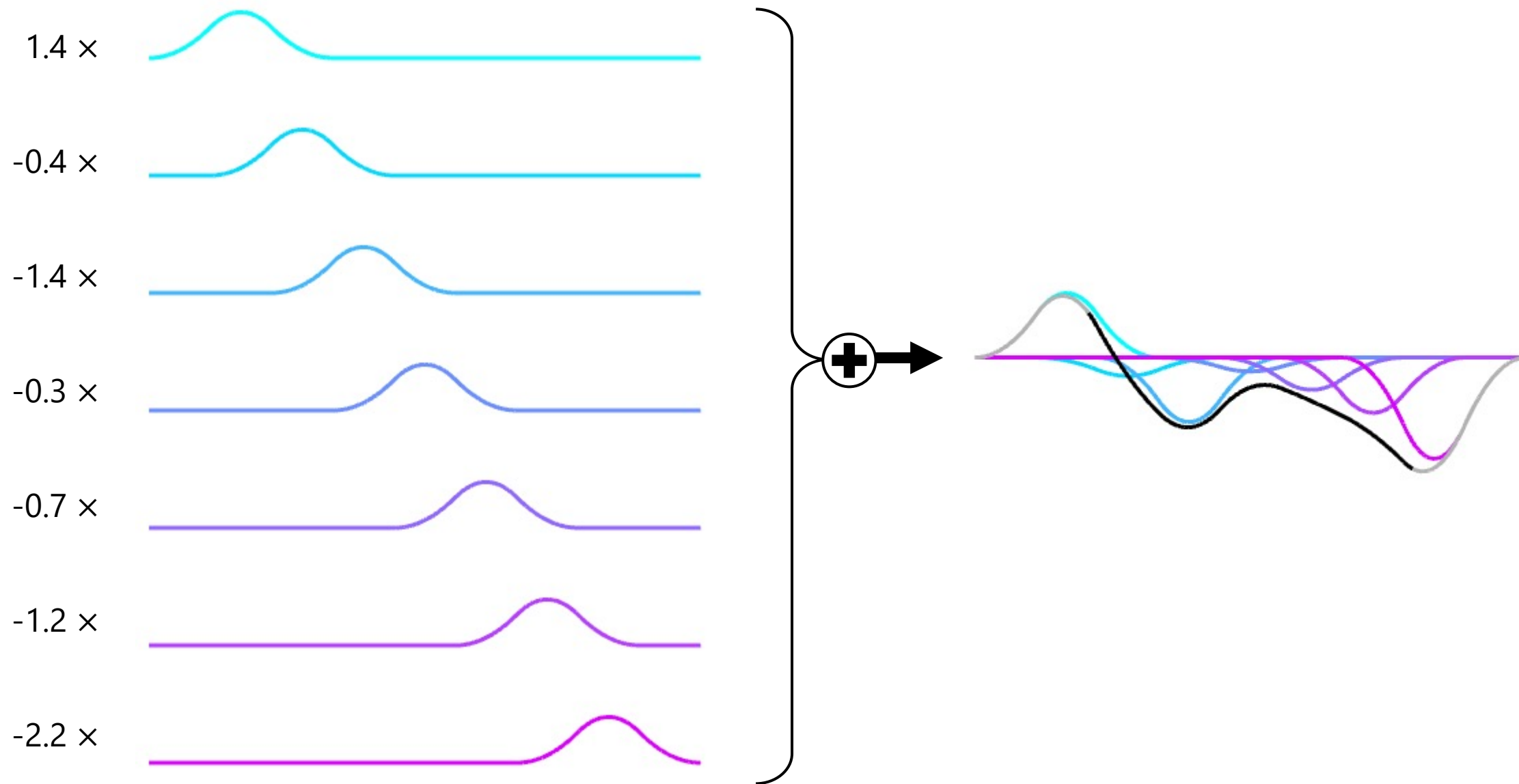
- $B_n(t) = \frac{t}{n} B_{n-1}(t) + \frac{n+1-t}{n} B_{n-1}(t-1)$

- 性質：

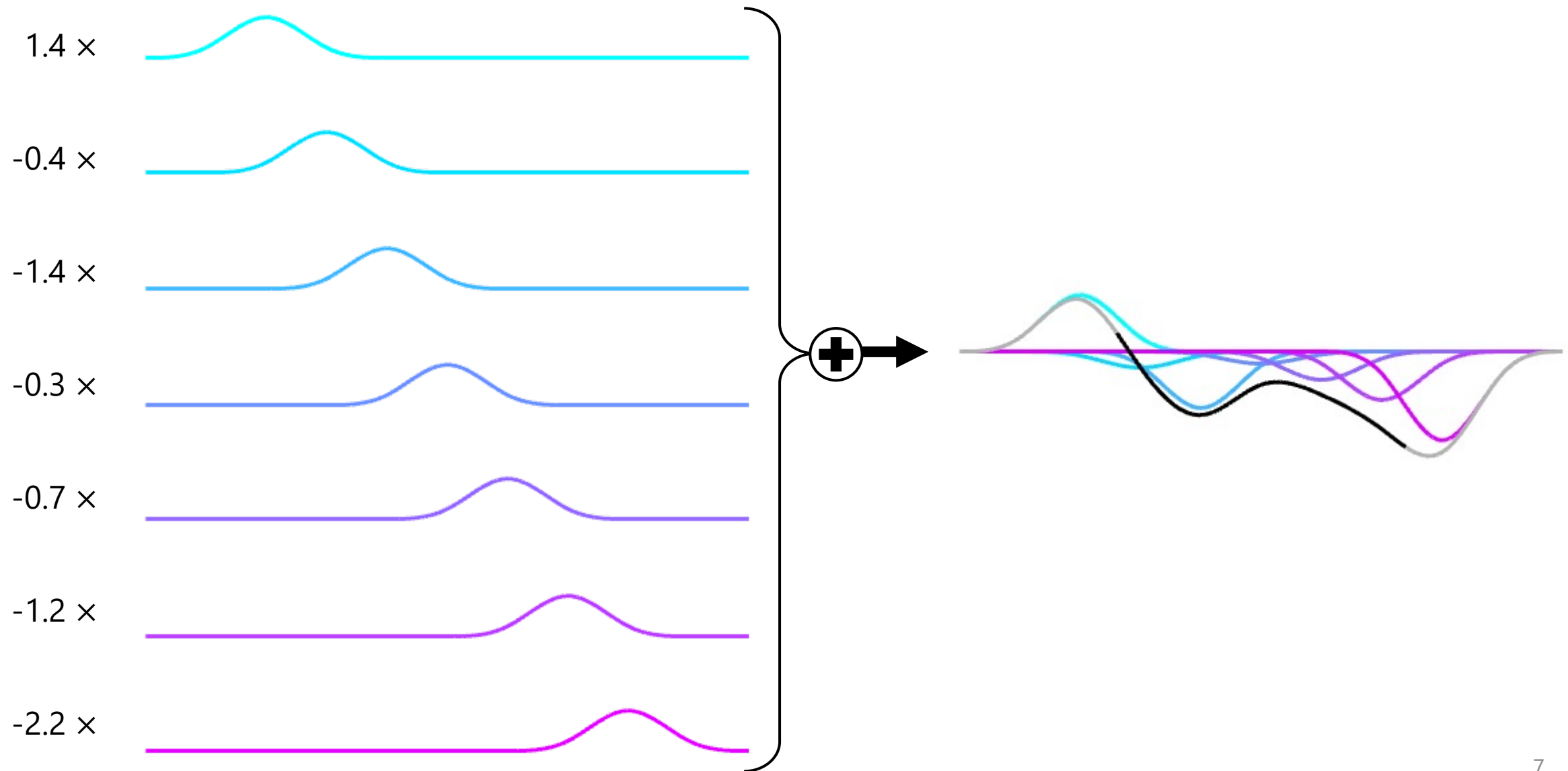
- n次区分局部多項式
- $[0, n+1]$ の外では常にゼロ (local support)
- C^{n-1} 連続



2次の基底関数を使う → 2次Bスプライン



3次の基底関数を使う → 3次Bスプライン

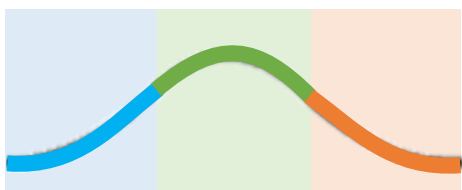


基底関数の大事な性質：partition-of-unity

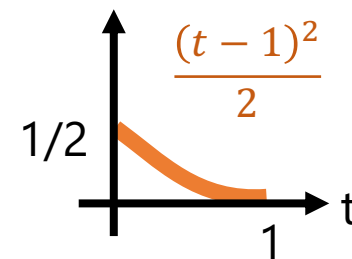
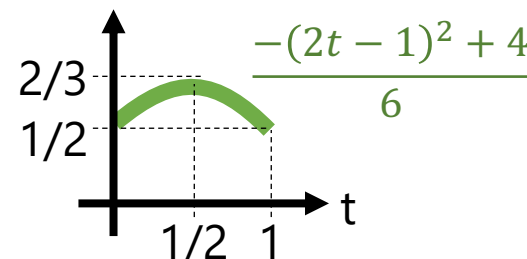
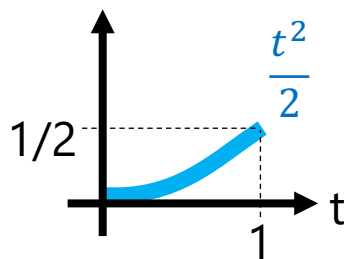
- Bスプライン曲線のX座標： $x(t) = \sum_i x_i B_n(t - i)$
- すべての制御点の座標 x_i を定数 c だけ平行移動することを考える：
 - $x(t) = \sum_i (x_i + c) B_n(t - i)$

$$= \sum_i x_i B_n(t - i) + c \underbrace{\sum_i B_n(t - i)}_1$$

- partition-of-unityを満たせば、曲線全体も c だけ平行移動したものになる

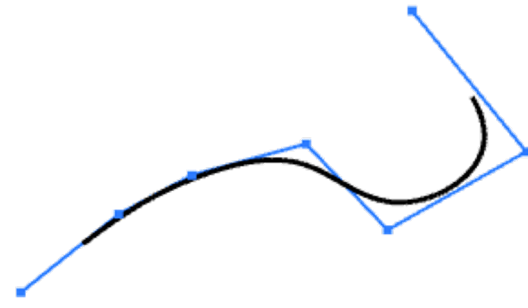


2次の場合

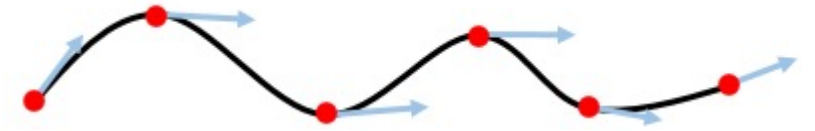


3次Bスプライン曲線と3次Catmull-Rom曲線

数学的な表現



区分3次曲線



区分3次曲線

定義の方法

3次基底関数の線形結合

$t = t_k$ における座標値を指定すると、
そこでの微分値を自動設定

各区間をエルミート補間

制御点を通る？

通らない

通る

区間境界の
連続性

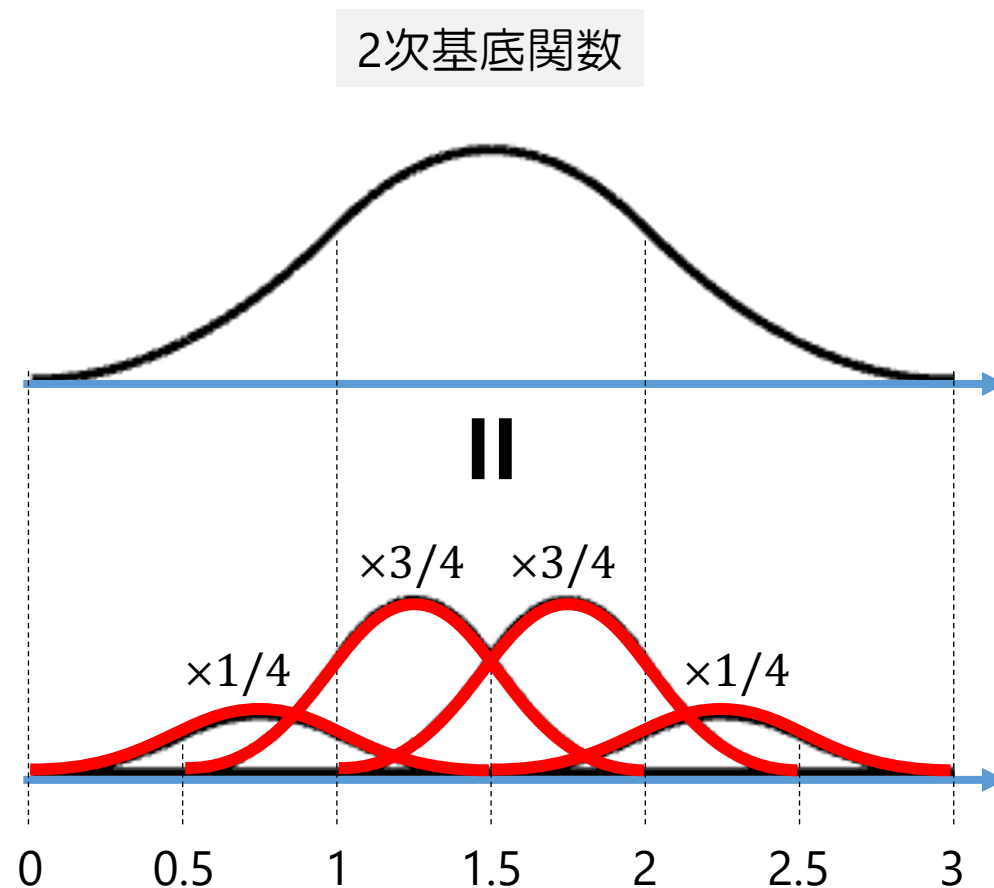
C^2 連続

C^1 連続

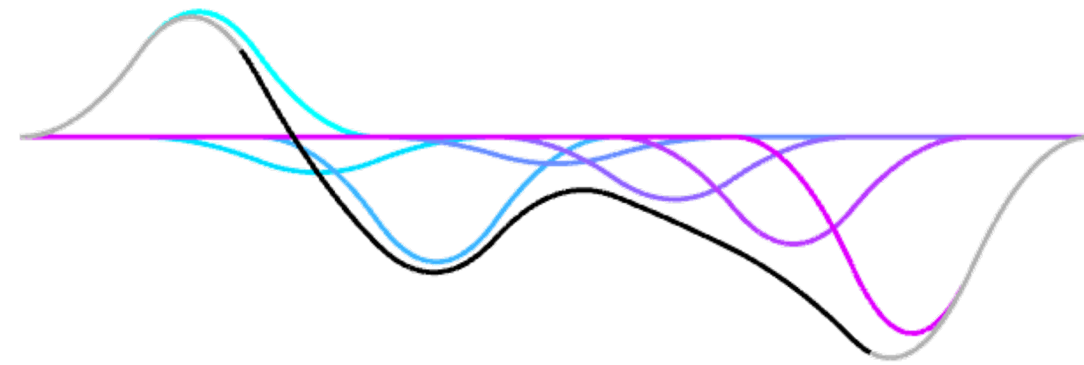
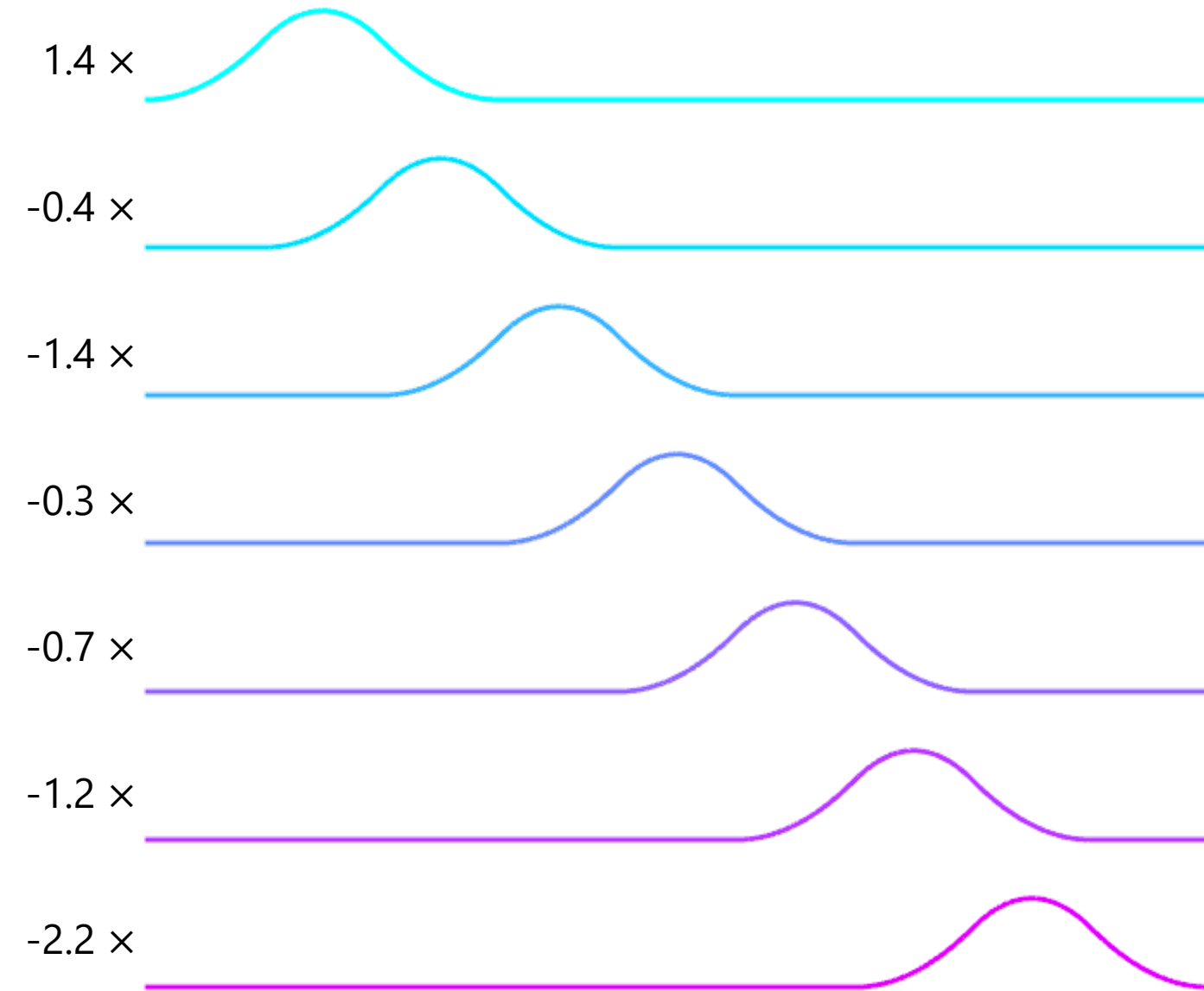
Bスプラインからサブディビジョンへ

基底関数のもう一つの重要な性質

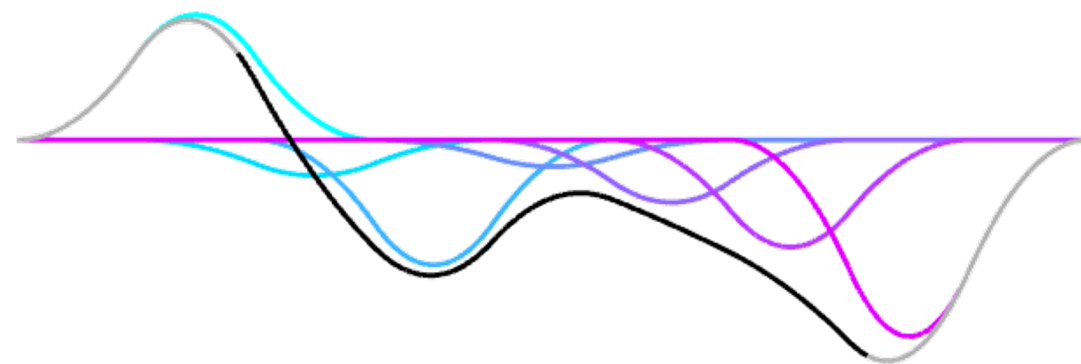
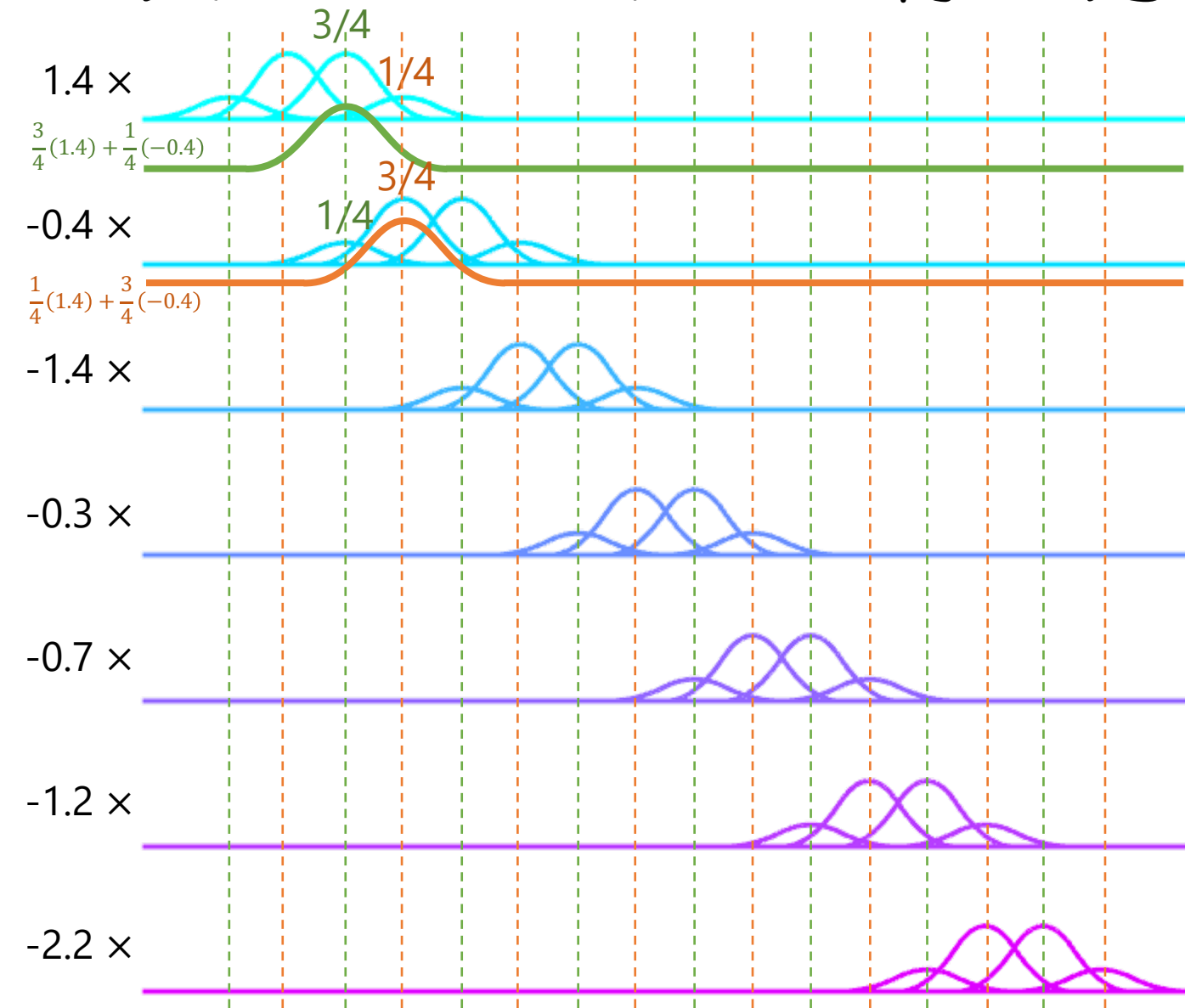
- 同じ基底関数の local support を半分にしたものの重み付け和に分解可能



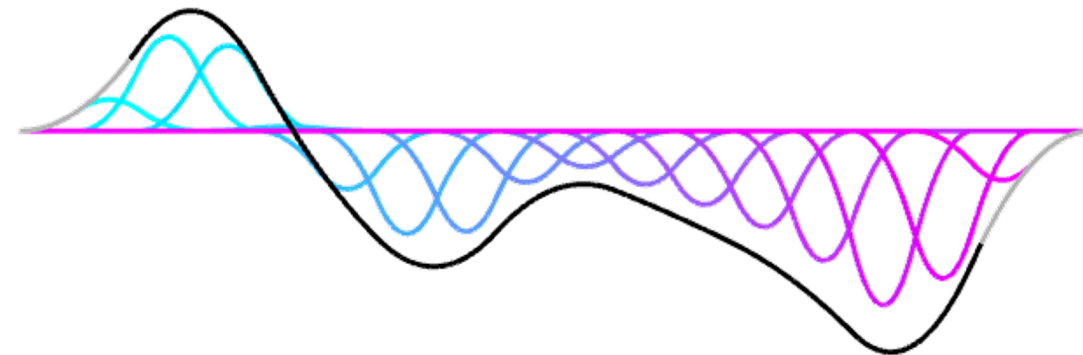
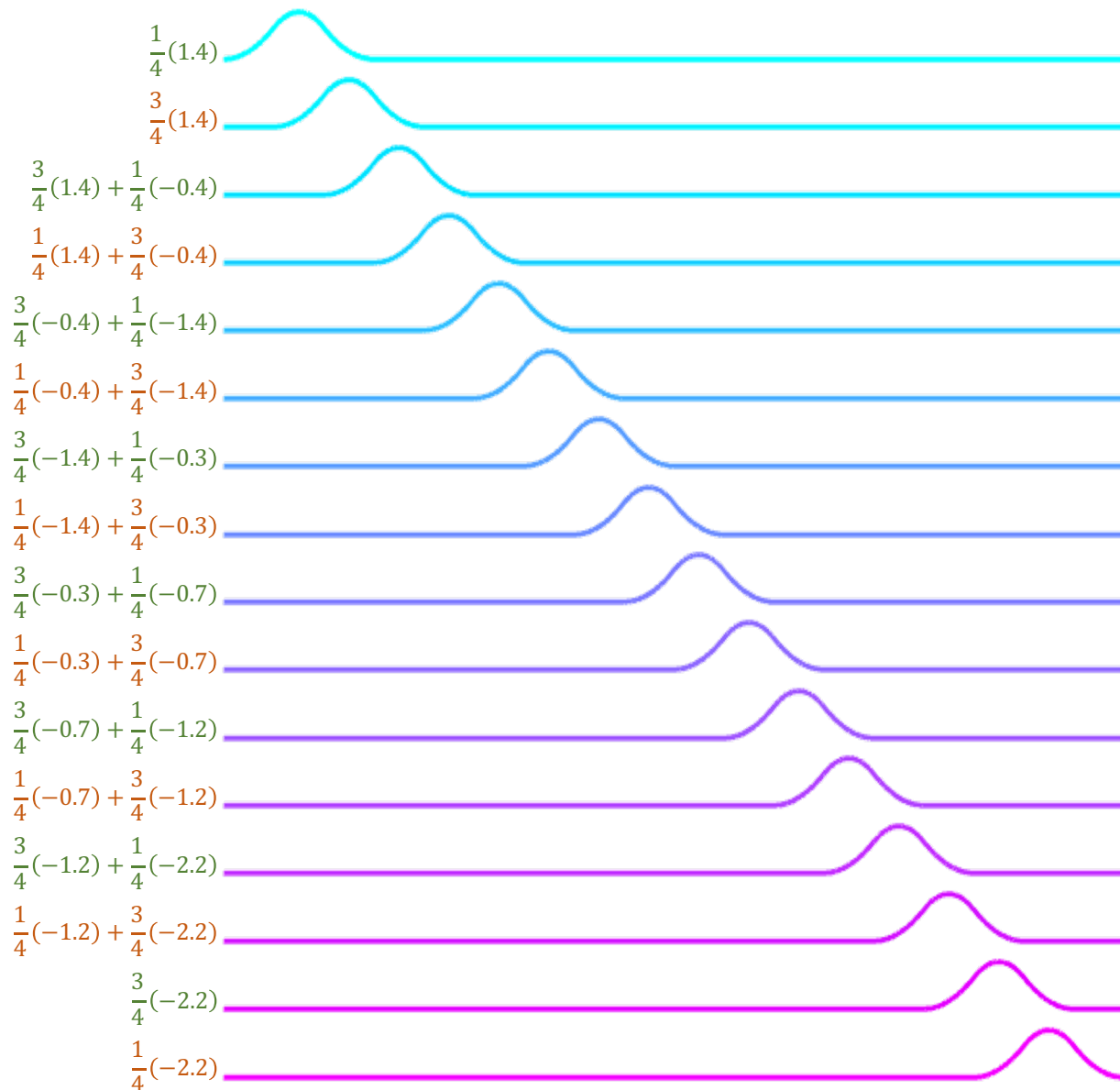
2次Bスプライン曲線の分割



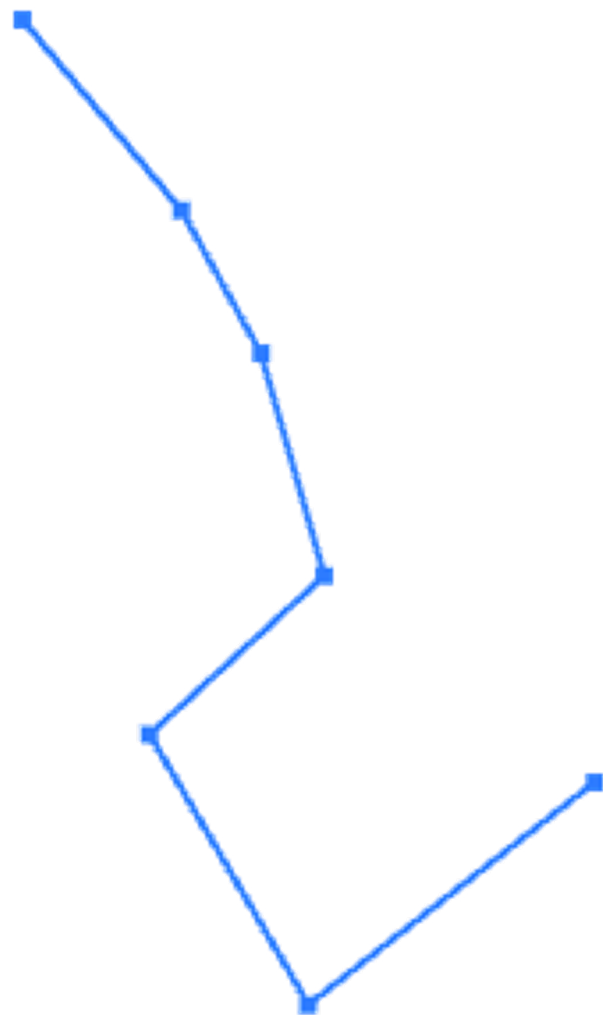
2次Bスプライン曲線の分割



2次Bスプライン曲線の分割



サブディビジョンによる2次曲線の生成



ステンシルA

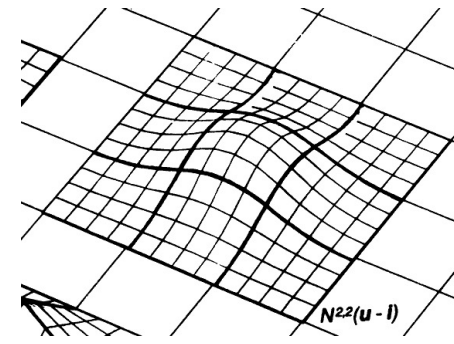


ステンシルB

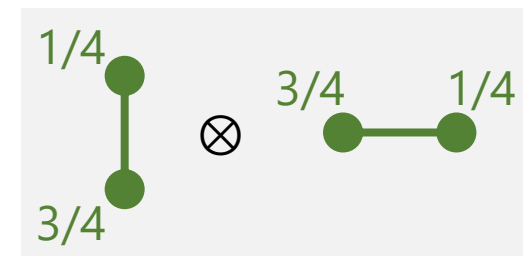
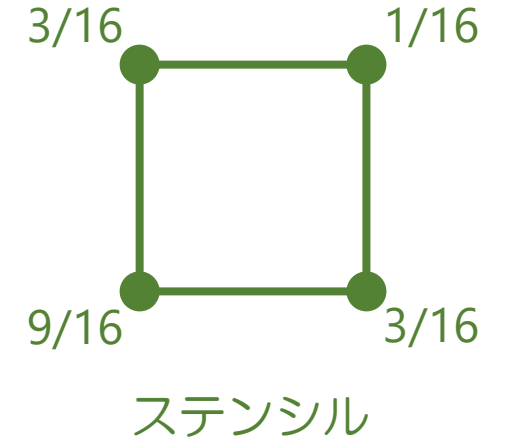
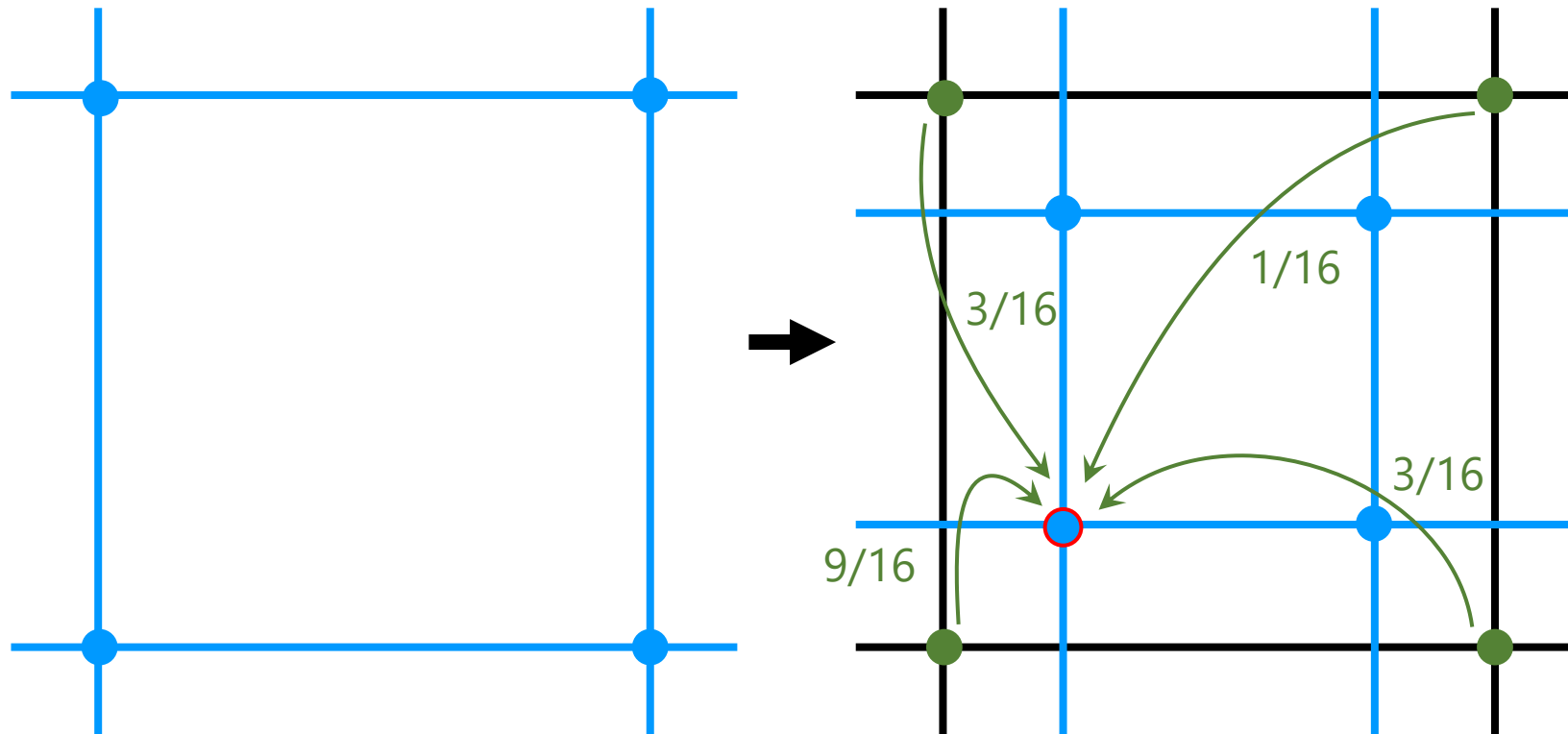


- 各頂点を、2個の頂点に分裂させる
(= 各エッジについて、2個の頂点を生成)

サブディビジョンによる 2次曲面の生成

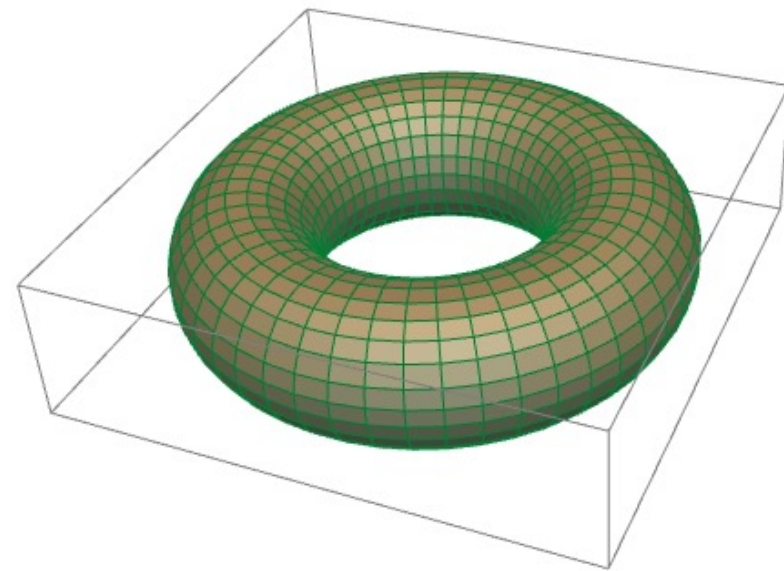
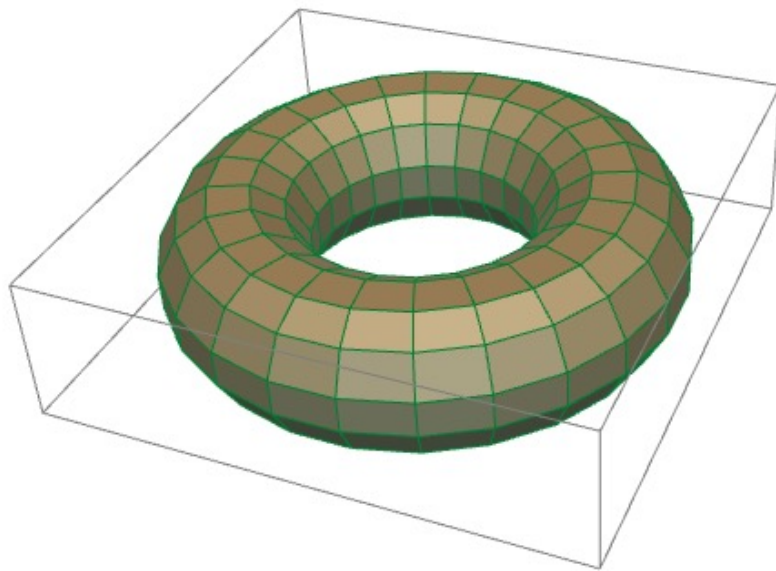
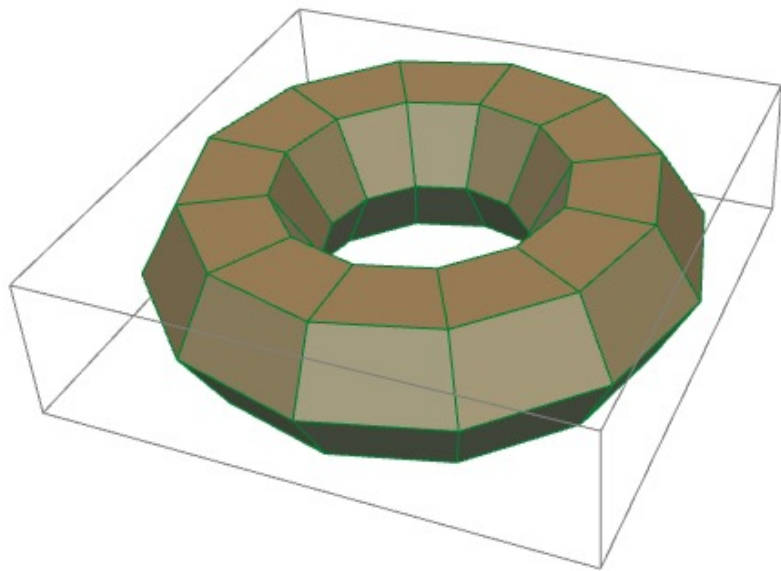


双2次基底関数
 $B_{2,2}(s, t) = B_2(s) B_2(t)$



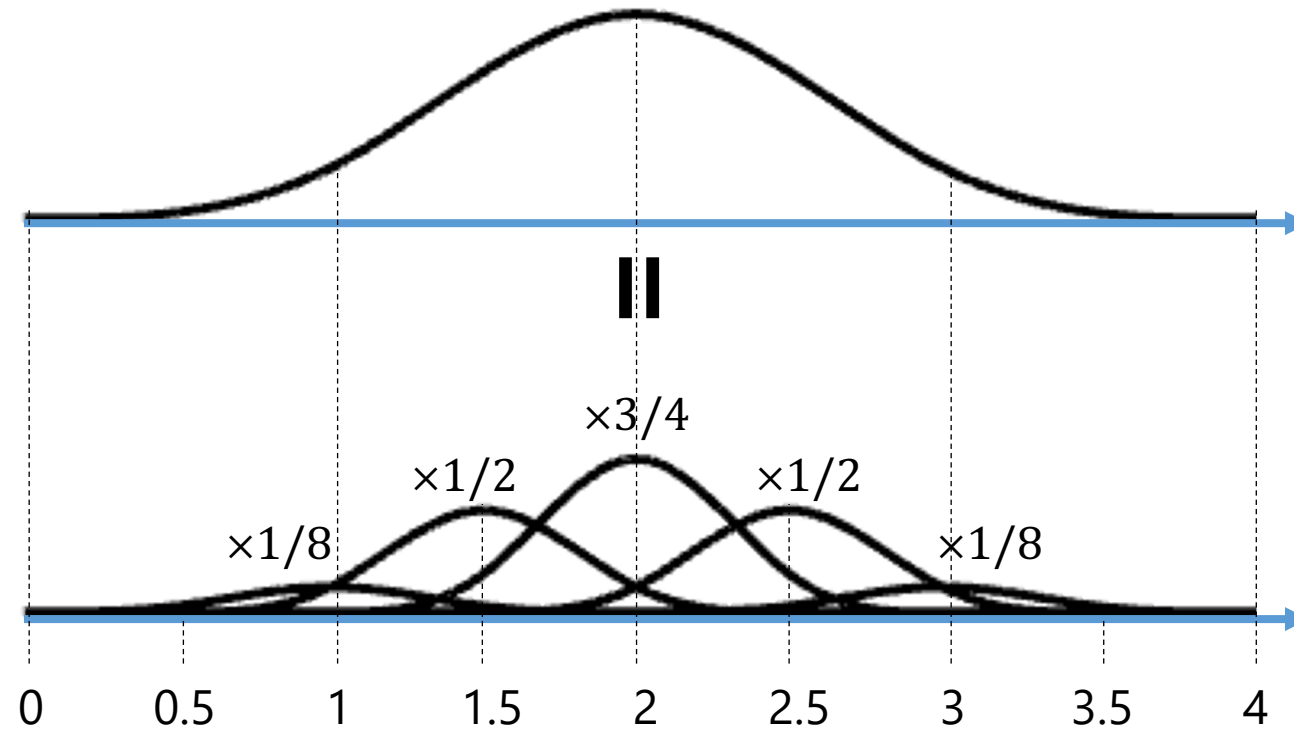
- 各頂点を、4個の頂点に分裂させる
 (= 各面について、4個の頂点を生成)

トーラス形状への適用結果

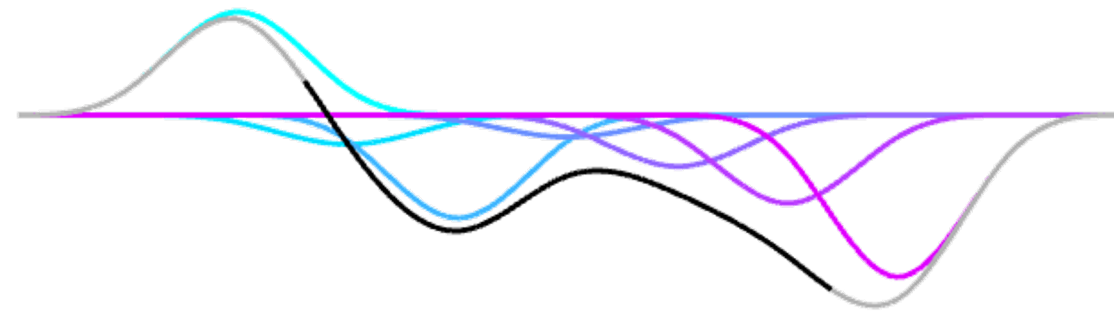
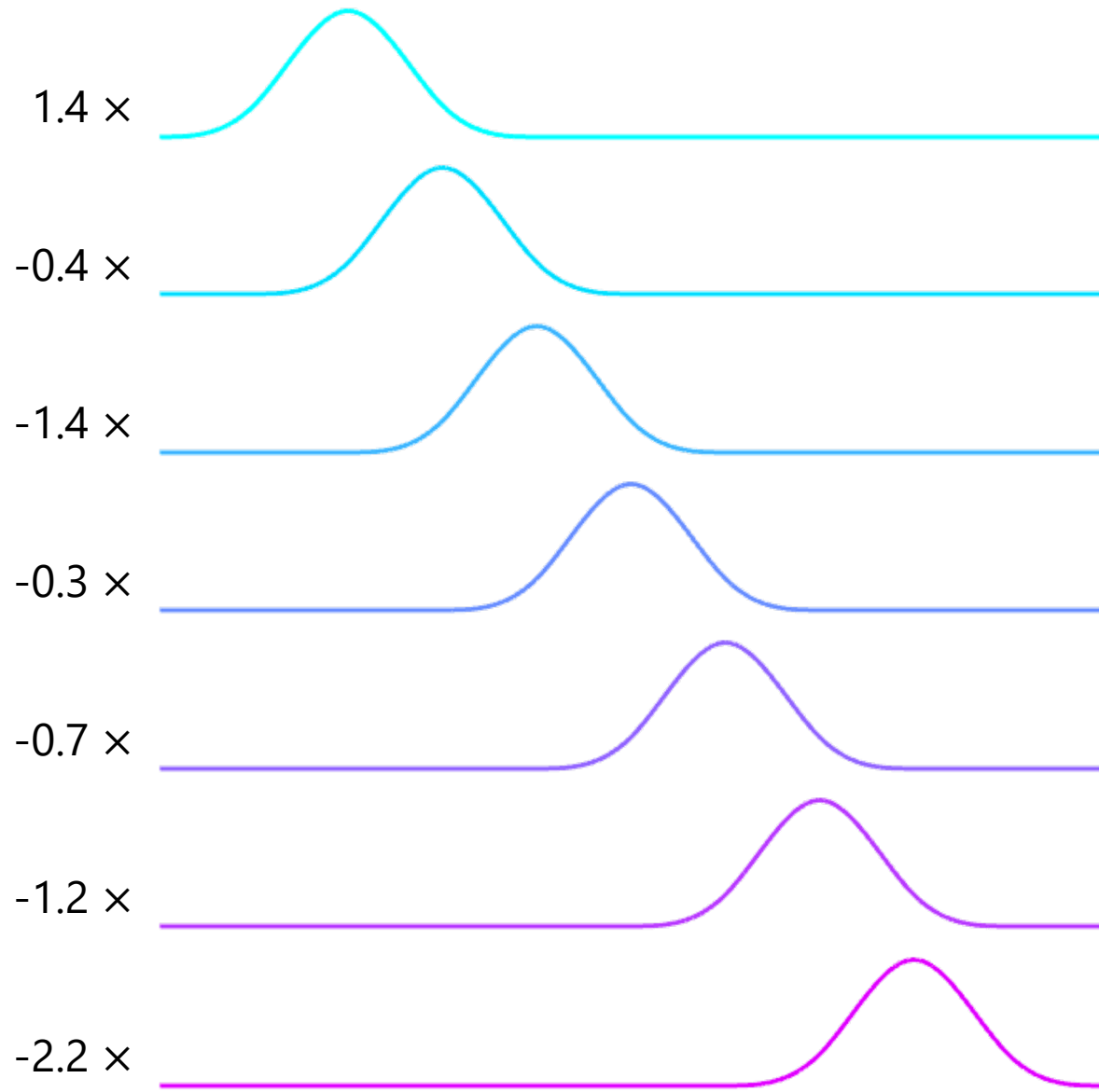


3次Bスプラインの場合

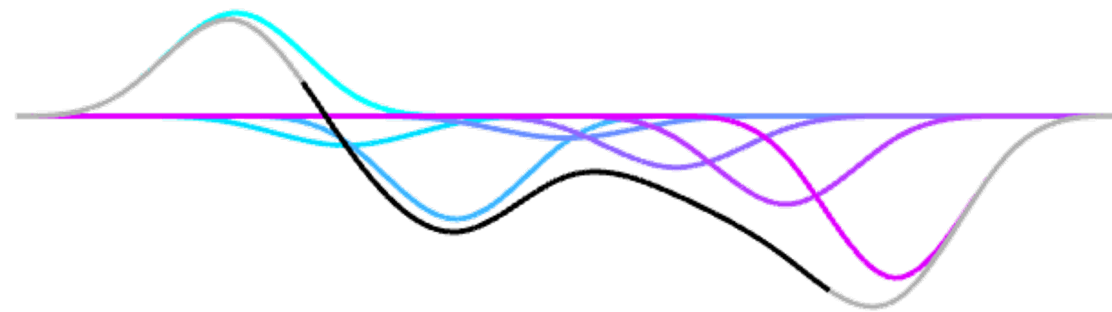
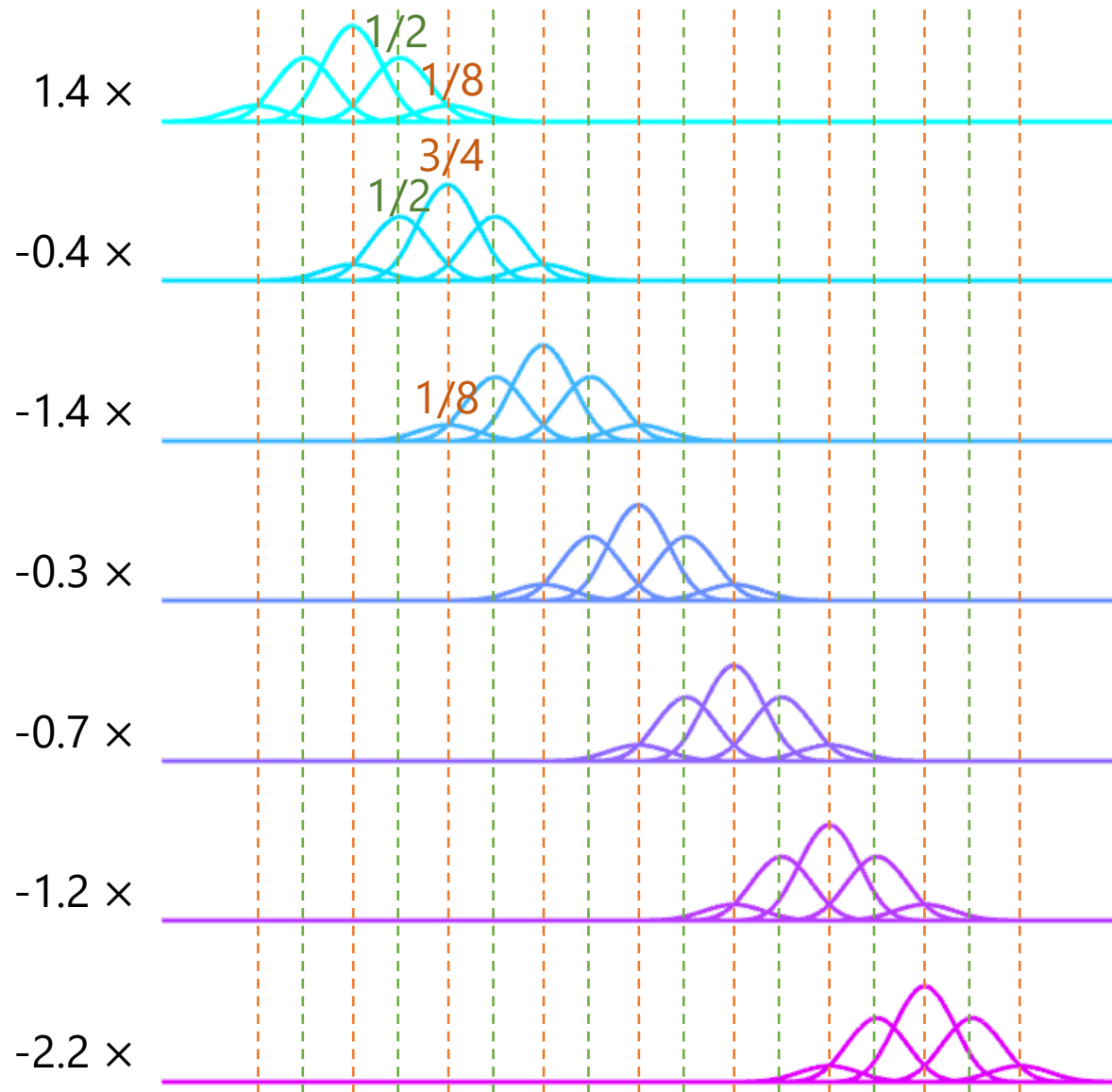
3次基底関数



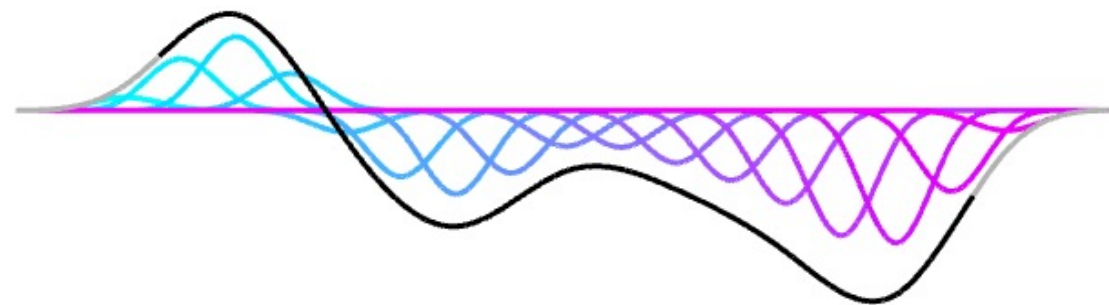
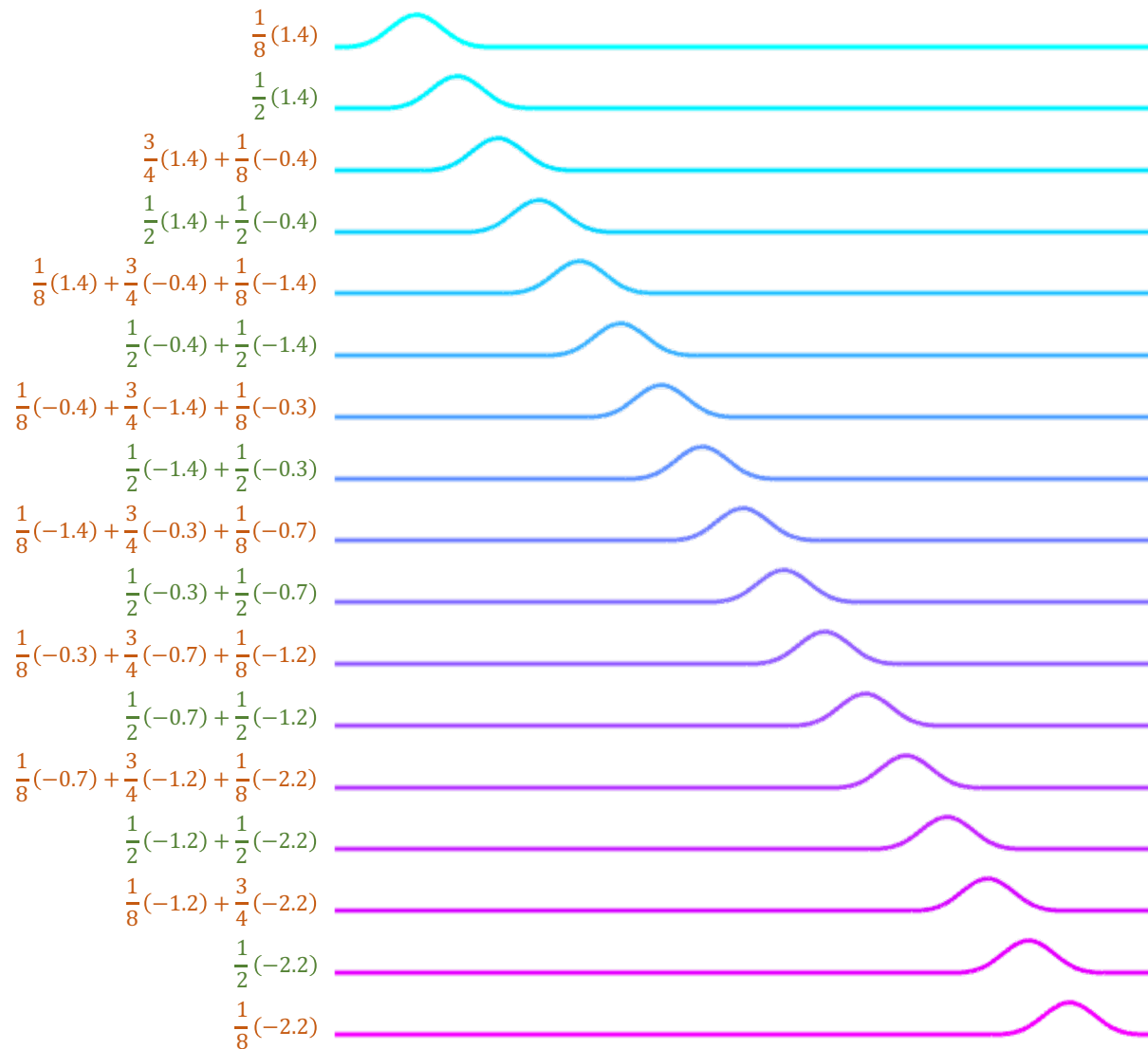
3次Bスプライン曲線の分割



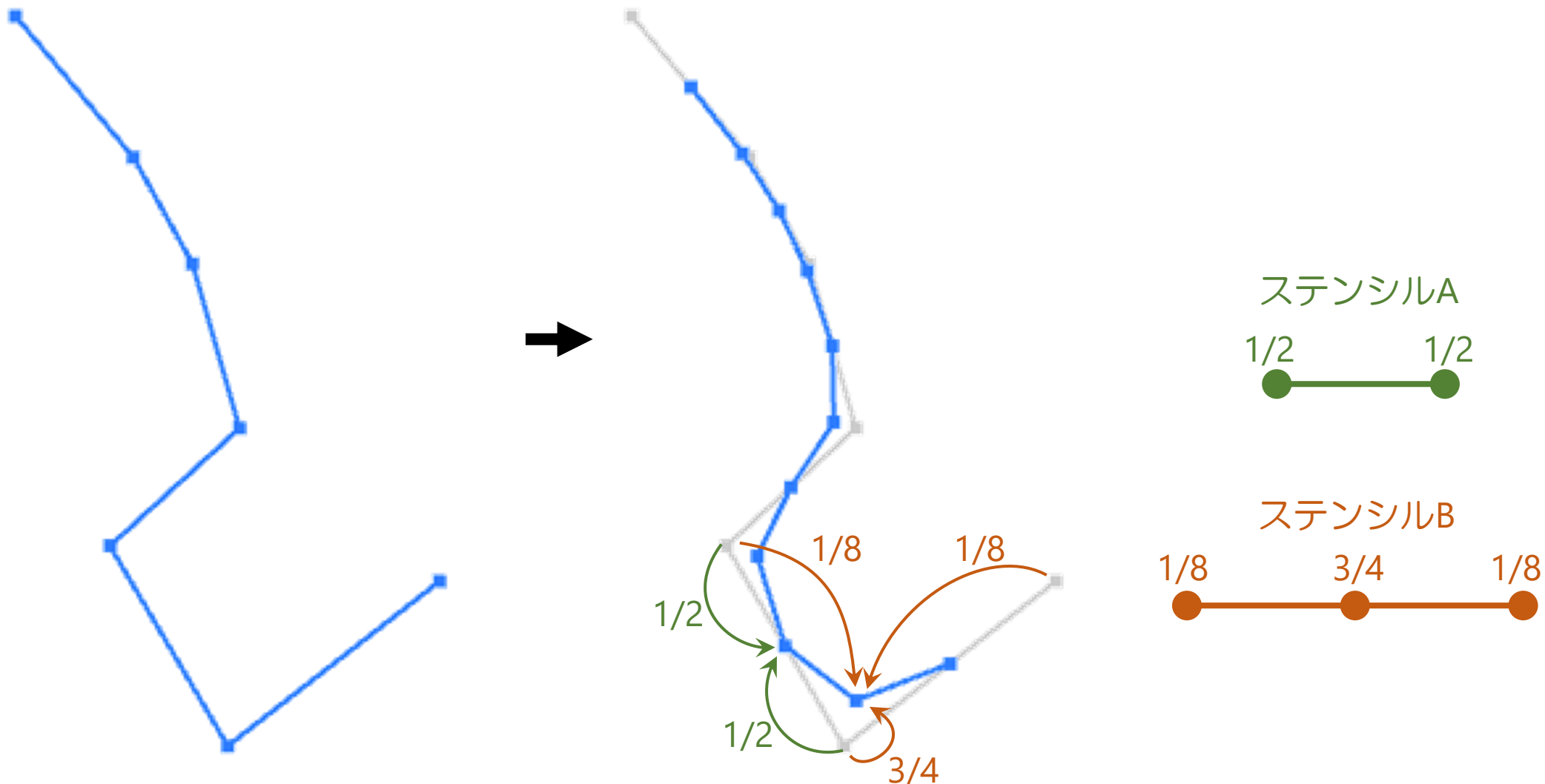
3次Bスプライン曲線の分割



3次Bスプライン曲線の分割

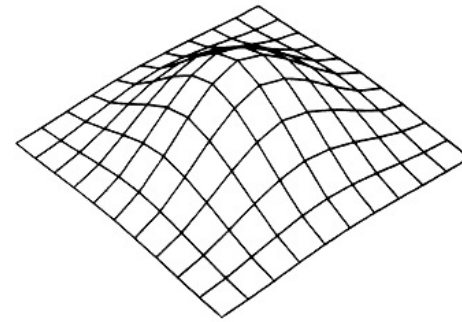


サブディビジョンによる3次曲線の生成



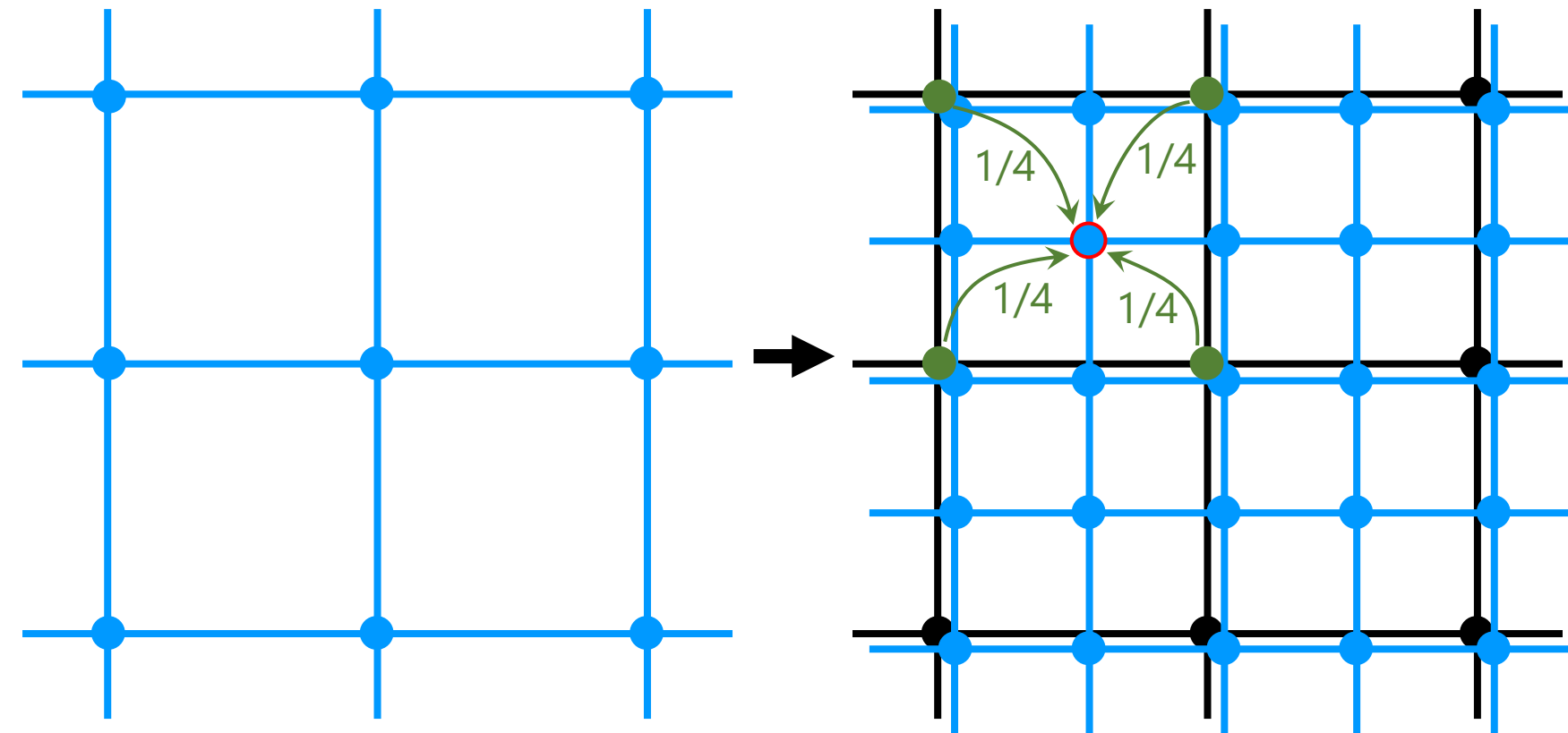
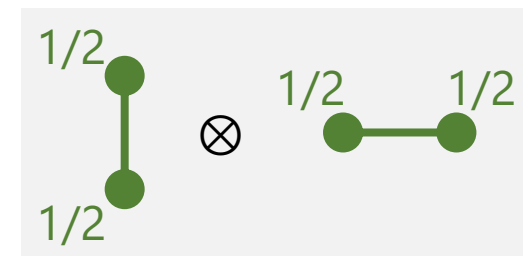
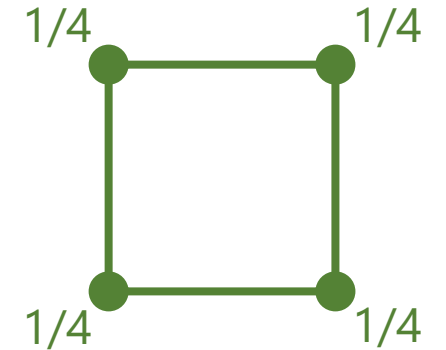
- 各エッジについて、その中点に新しい頂点を生成
- 各頂点を、周囲の頂点と重み付け平均した位置に動かす

サブディビジョンによる 3次曲面の生成



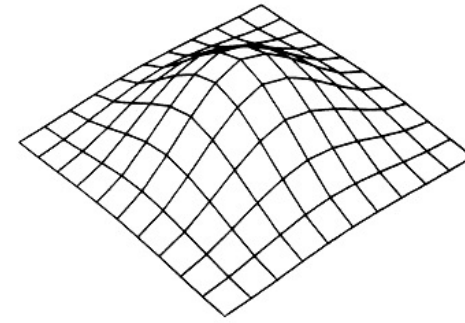
双3次基底関数
 $B_{3,3}(s, t) = B_3(s) B_3(t)$

“face point” ステンシル

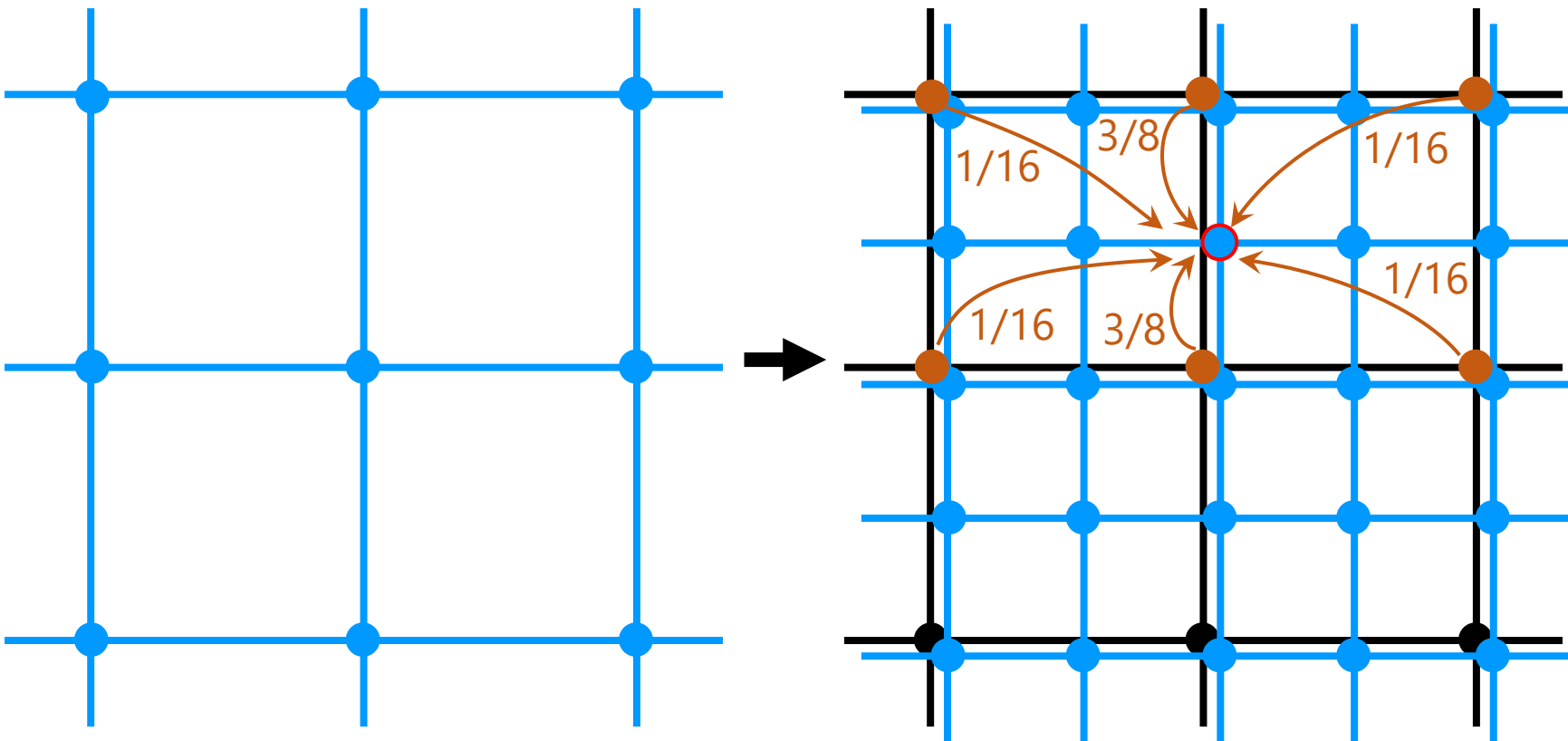


- 各面について、その重心に1個の頂点を生成

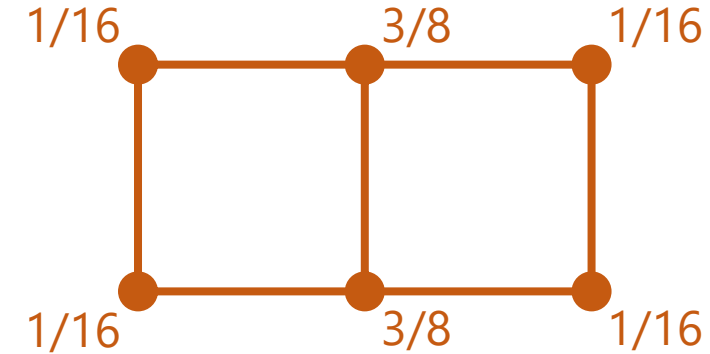
サブディビジョンによる 3次曲面の生成



双3次基底関数
 $B_{3,3}(s, t) = B_3(s) B_3(t)$

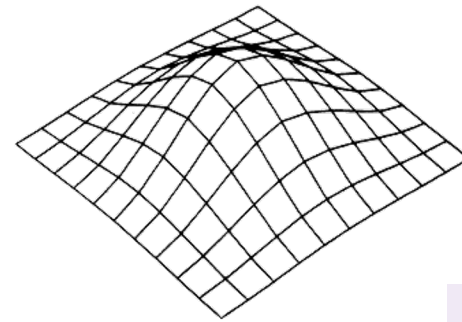


“edge point” ステンシル



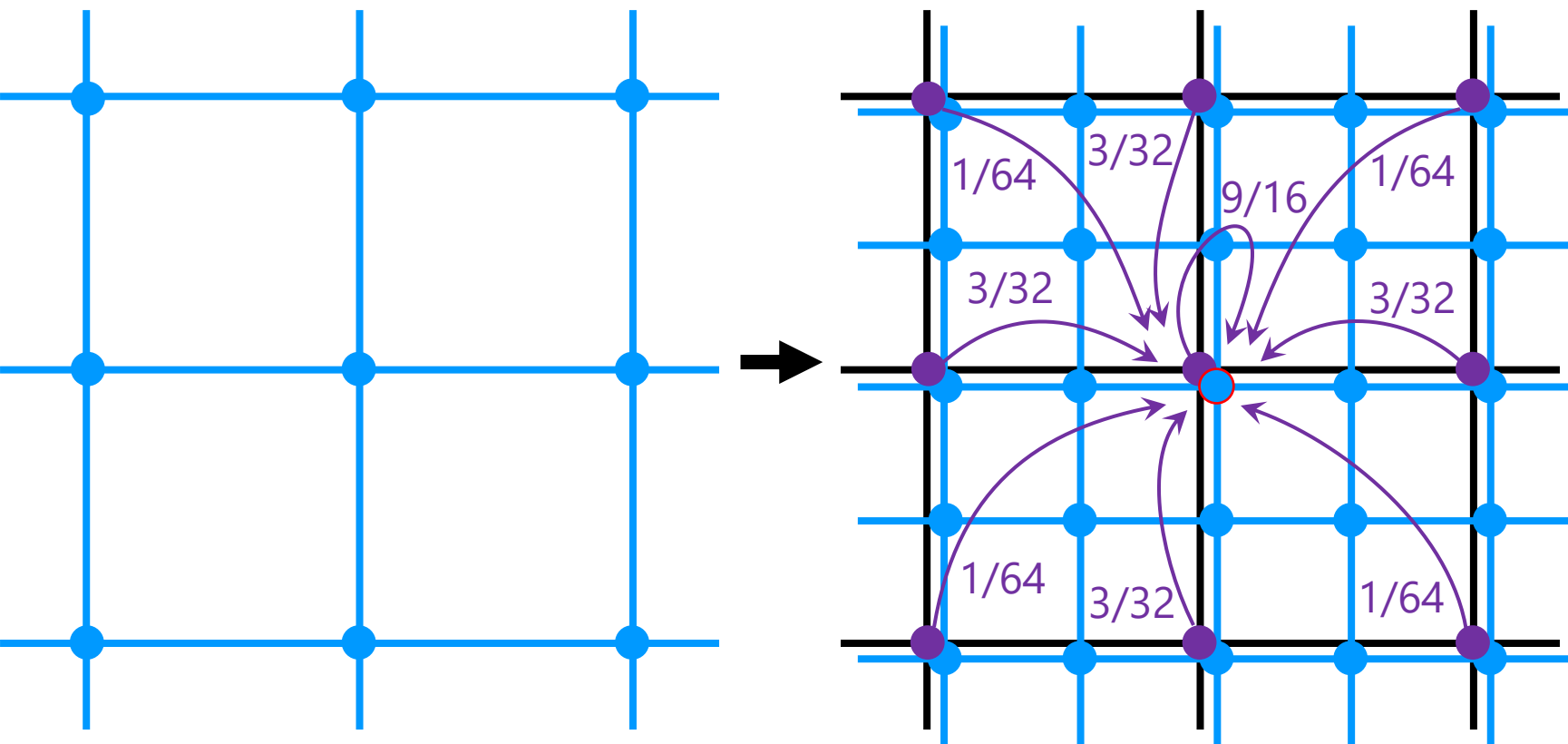
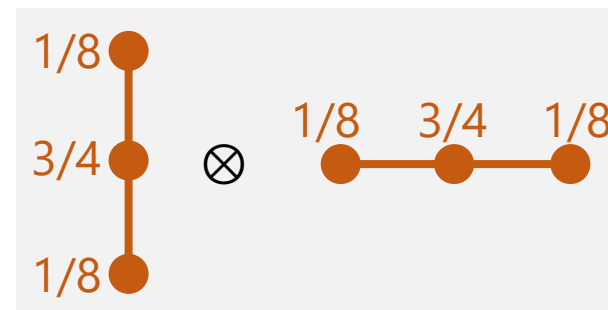
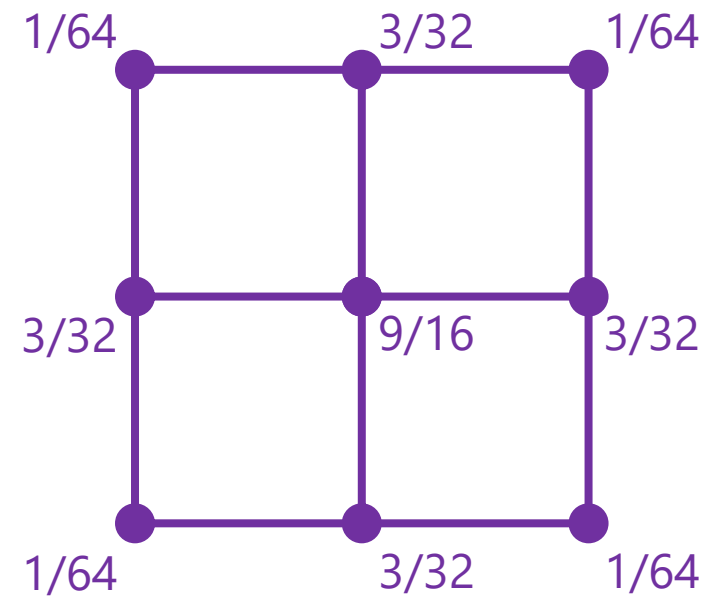
- 各エッジについて、周囲の頂点を重み付き平均した位置に新しい頂点を生成

サブディビジョンによる 3次曲面の生成



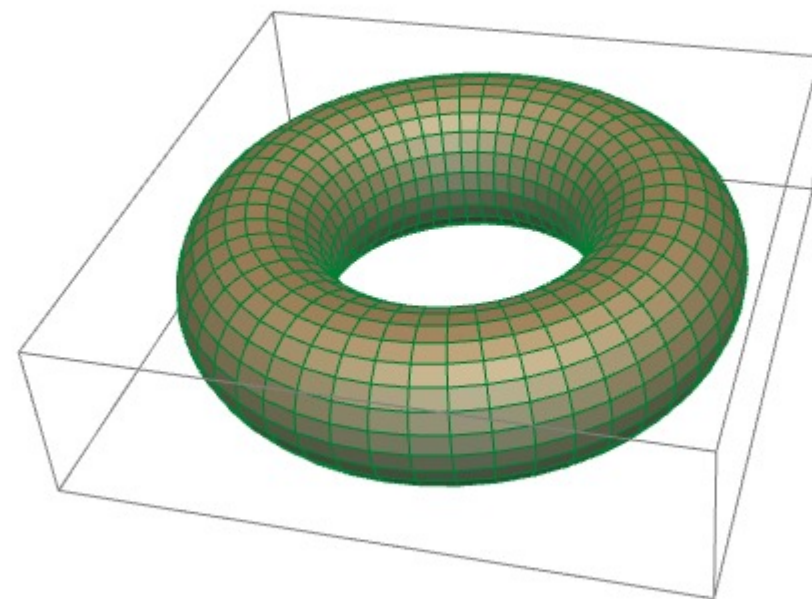
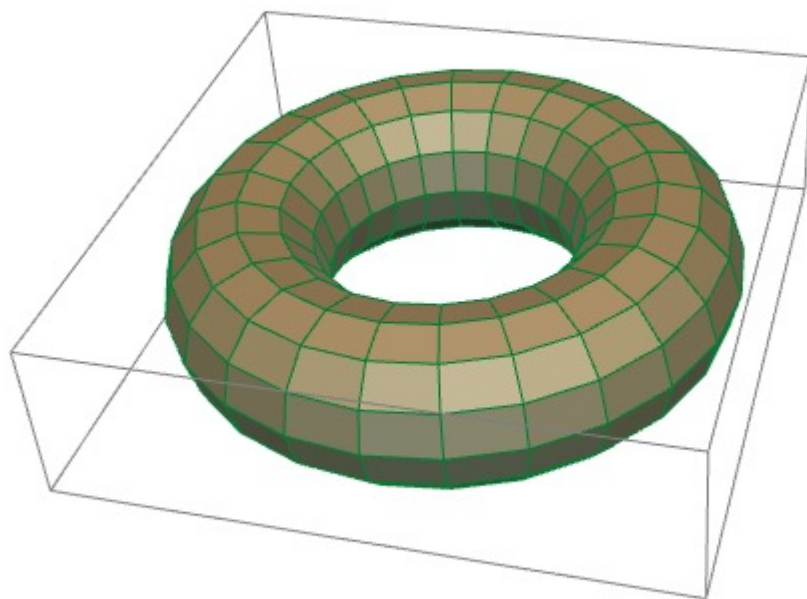
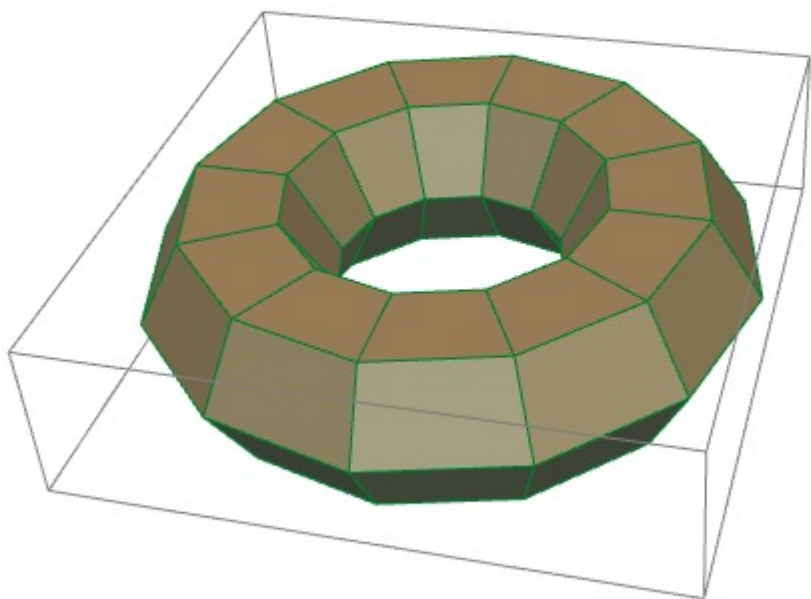
双3次基底関数
 $B_{3,3}(s, t) = B_3(s) B_3(t)$

“vertex point” ステンシル



- 各頂点を、周囲の頂点を重み付き平均した位置に動かす

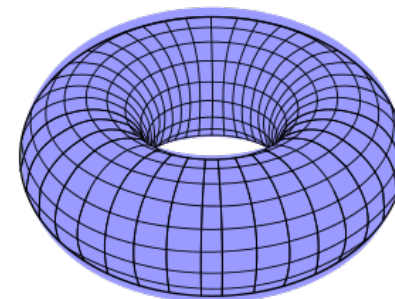
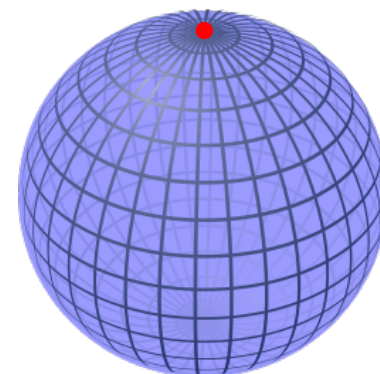
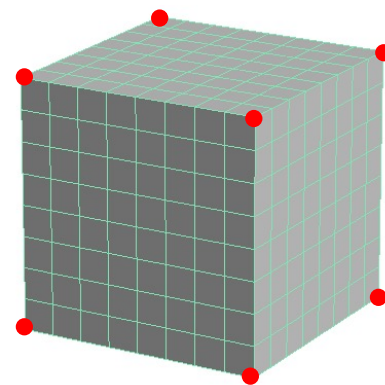
トーラス形状への適用結果



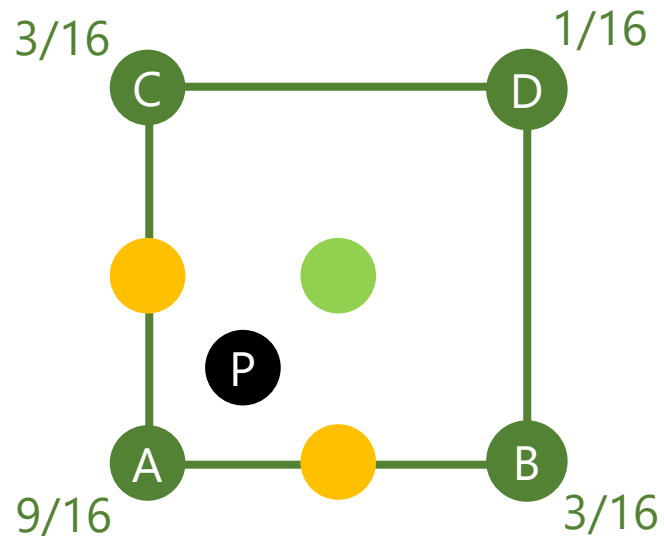
サブディビジョンの一般化

先述の定式化の前提条件

- サーフエスを「きれいな」四角形メッシュに分割できること
 - 「きれいな」頂点：隣接する面の数 (valence) が4つ
 - valence が4でない頂点：特異点
- 特別な場合 (トーラス) を除き、一般には成り立たない
- サブディビジョン法のポイント：特異点にも適用可能
 - Bスプラインから導出されるステンシルを、幾何的な解釈から一般化



2次曲面ステンシルの一般化 (Doo-Sabin法)



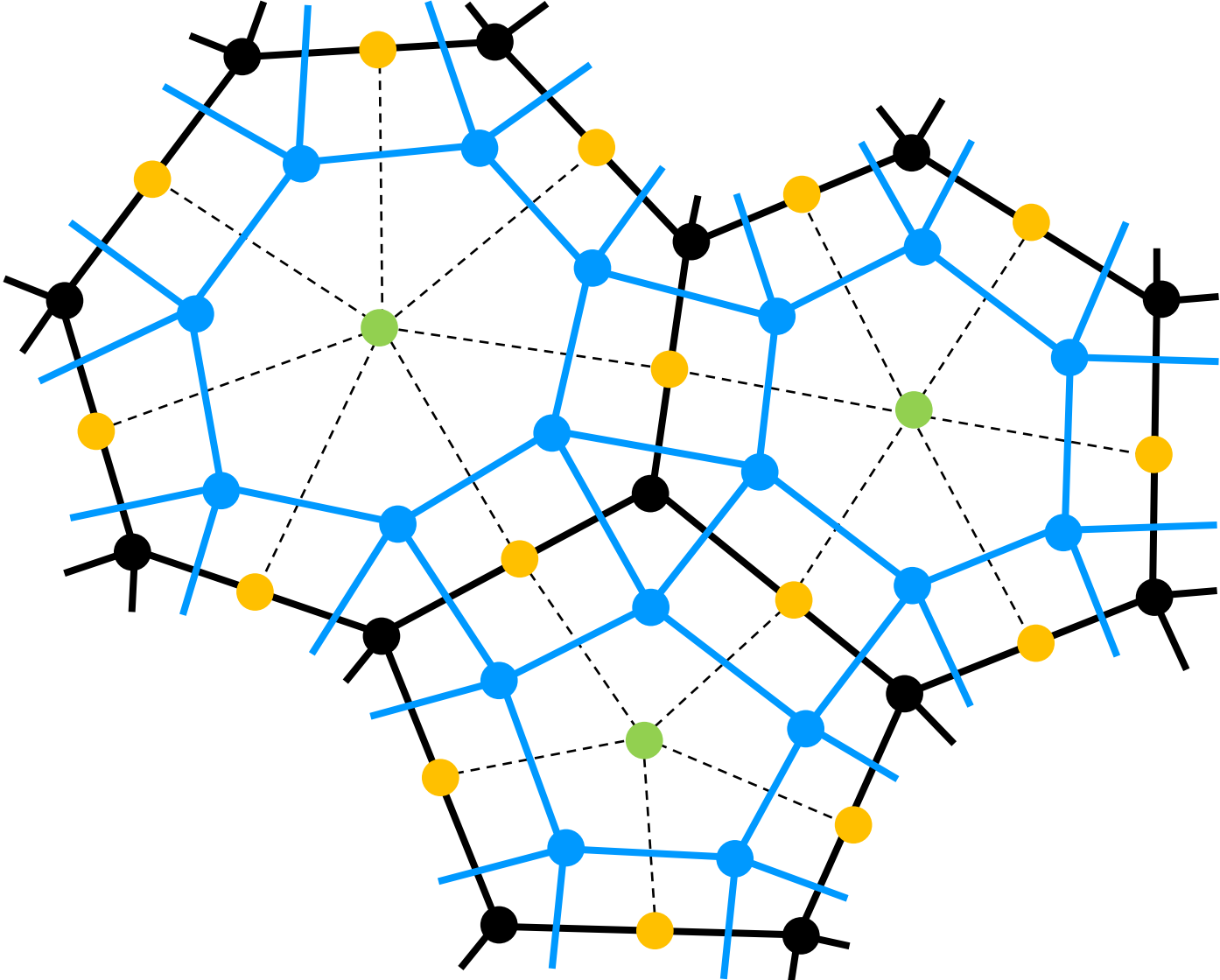
$$P = \frac{1}{16} (9A + 3B + 3C + D)$$

$$= \frac{\overset{\text{重心}}{A + B + C + D}}{4} + \frac{\overset{\text{中点}}{A + B}}{2} + \frac{\overset{\text{中点}}{A + C}}{2} + A$$

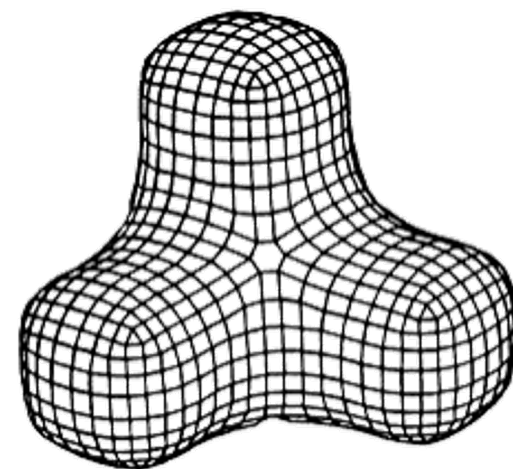
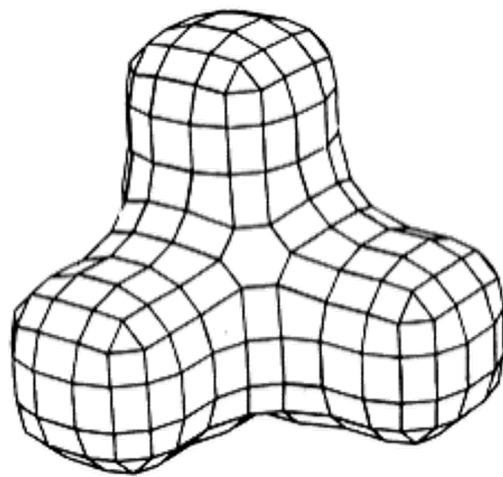
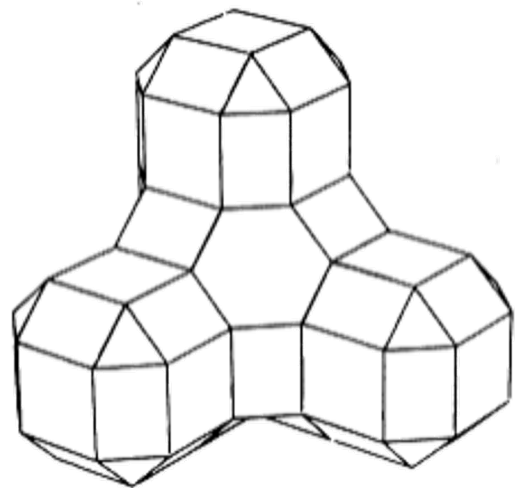
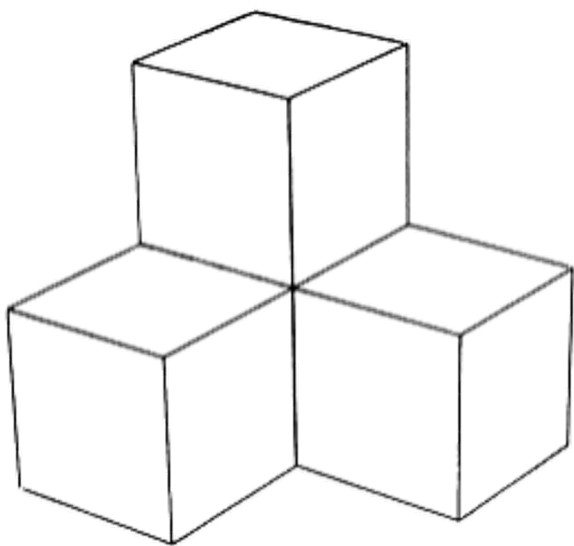
各ポリゴンの各頂点について、それに隣接する2個のエッジの中点と、ポリゴンの重心と、それ自身の平均を取った位置に頂点を生成

→ 一般のポリゴンメッシュに適用できる

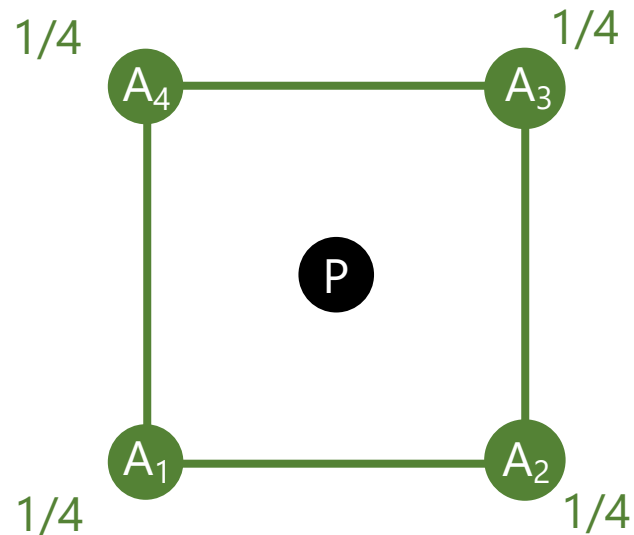
Doo-Sabin法の適用例



Doo-Sabin法の適用例



3次曲面ステンシルの一般化 (Catmull-Clark法)

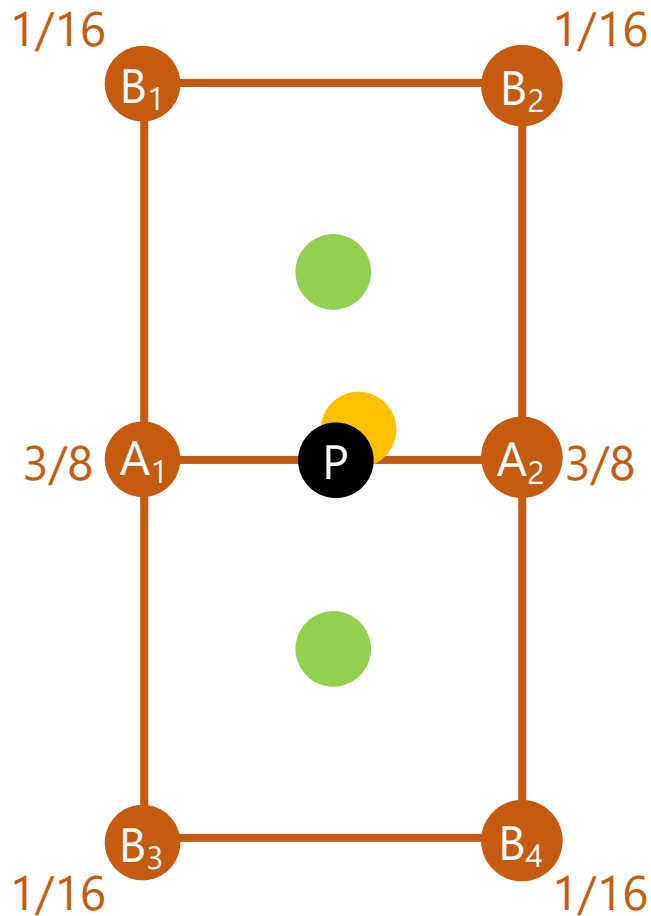


$$P = \frac{A_1 + A_2 + A_3 + A_4}{4}$$

各ポリゴンについて、その重心に頂点を生成

→ 一般のポリゴンメッシュに適用できる

3次曲面ステンシルの一般化 (Catmull-Clark法)



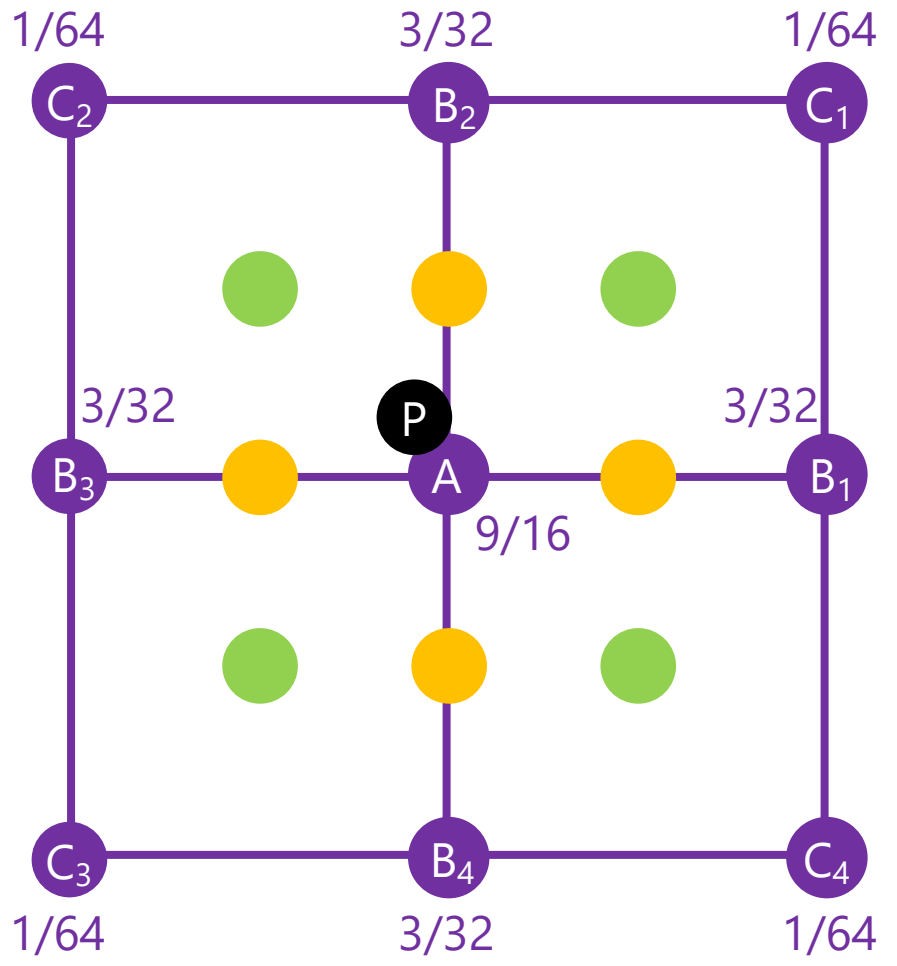
$$P = \frac{3}{8}(A_1 + A_2) + \frac{1}{16}(B_1 + B_2 + B_3 + B_4)$$

$$= \frac{\frac{\text{重心}}{A_1 + A_2 + B_1 + B_2}}{4} + \frac{\frac{\text{重心}}{A_1 + A_2 + B_3 + B_4}}{4} + \frac{\text{中点}}{A_1 + A_2}}{2}$$

各エッジについて、それを共有する両側のポリゴンの重心の平均と、それ自身の中点の平均を取った位置に頂点を生成

→ 一般のポリゴンメッシュに適用できる

3次曲面ステンシルの一般化 (Catmull-Clark法)



$$P = \frac{9}{16}A + \frac{3}{32}(B_1 + B_2 + B_3 + B_4) + \frac{1}{64}(C_1 + C_2 + C_3 + C_4)$$

$$= \frac{1}{4} \left\{ \frac{\text{重心 } A + B_1 + C_1 + B_2}{4} + \frac{\text{重心 } A + B_2 + C_2 + B_3}{4} + \frac{\text{重心 } A + B_3 + C_3 + B_4}{4} + \frac{\text{重心 } A + B_4 + C_4 + B_1}{4} \right\} Q$$

$$+ \frac{2}{4} \left\{ \frac{\text{中点 } A + B_1}{2} + \frac{\text{中点 } A + B_2}{2} + \frac{\text{中点 } A + B_3}{2} + \frac{\text{中点 } A + B_4}{2} \right\} R$$

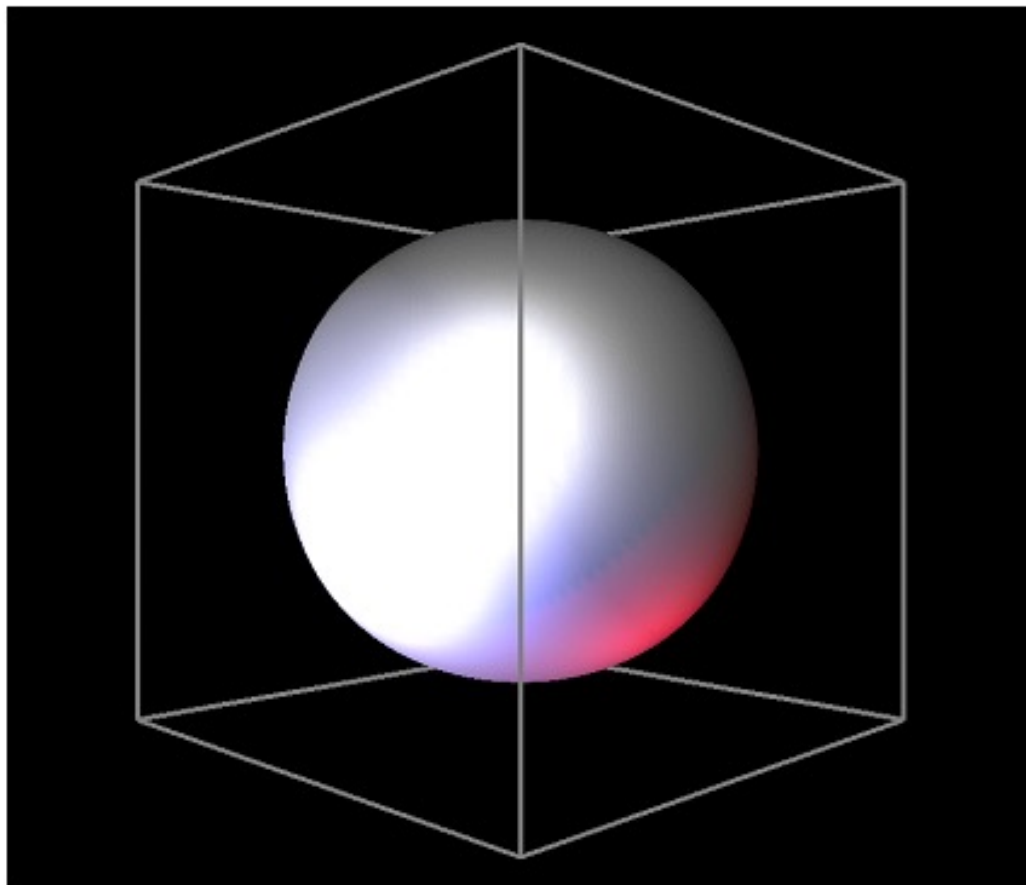
$$+ \frac{1}{4}A$$

A の valence が n のとき、

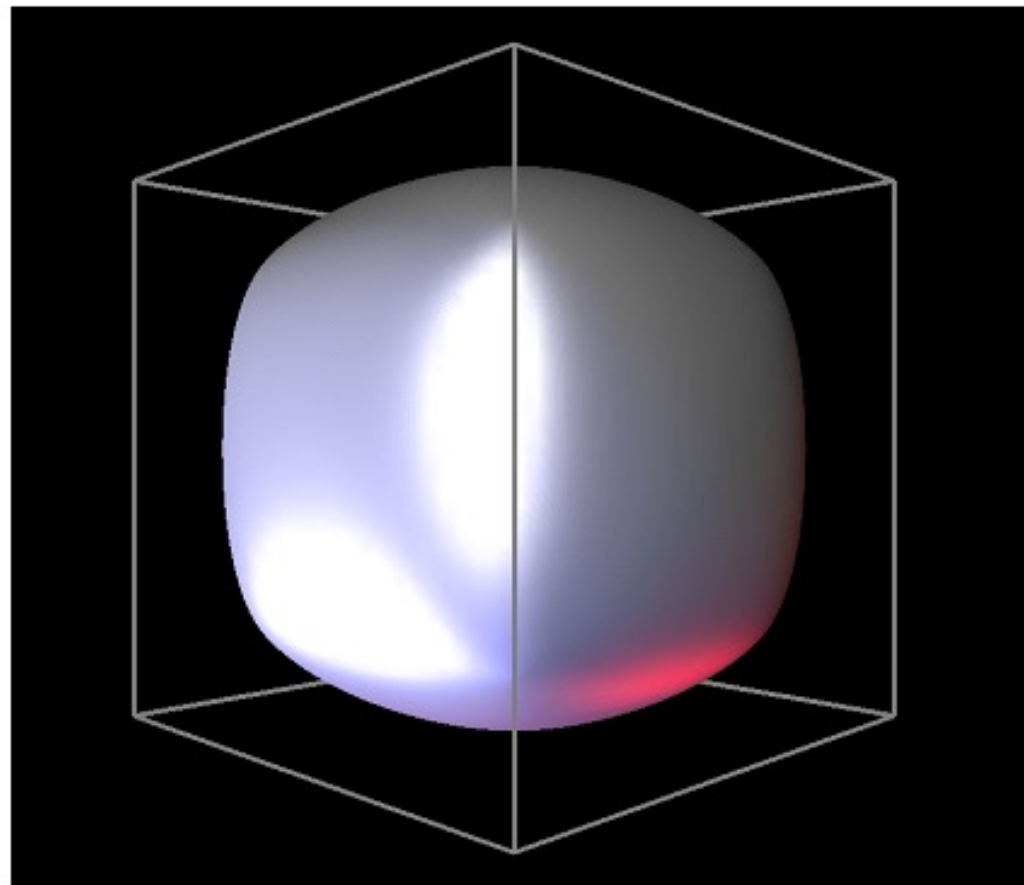
$$P = \frac{1}{n}Q + \frac{2}{n}R + \frac{n-3}{n}A$$

→ 一般のポリゴンメッシュに適用できる

比較



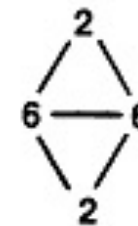
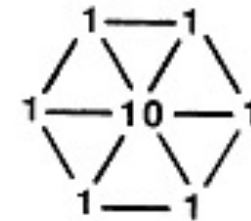
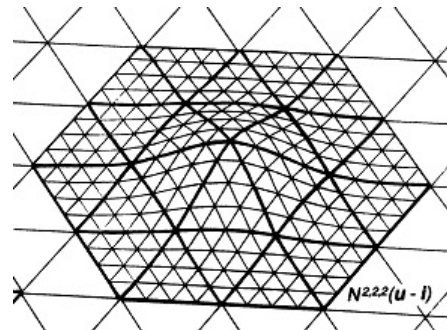
Catmull-Clark = 3次曲面



Doo-Sabin = 2次曲面

三角形メッシュのサブディビジョン (Loop法)

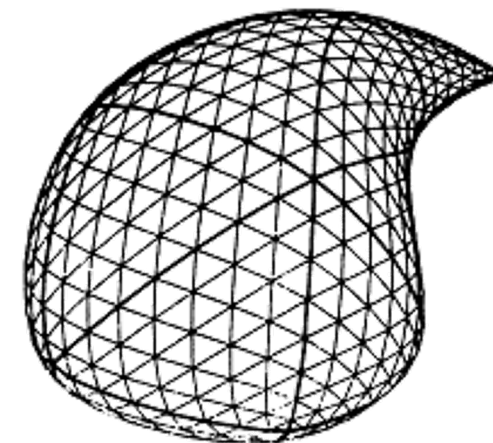
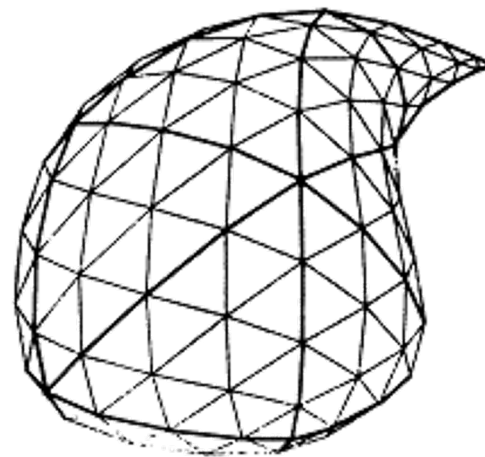
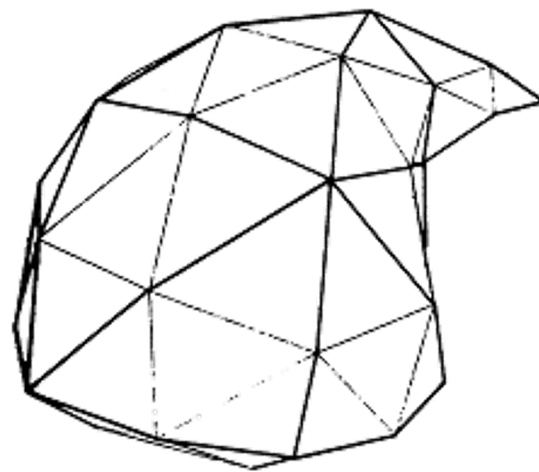
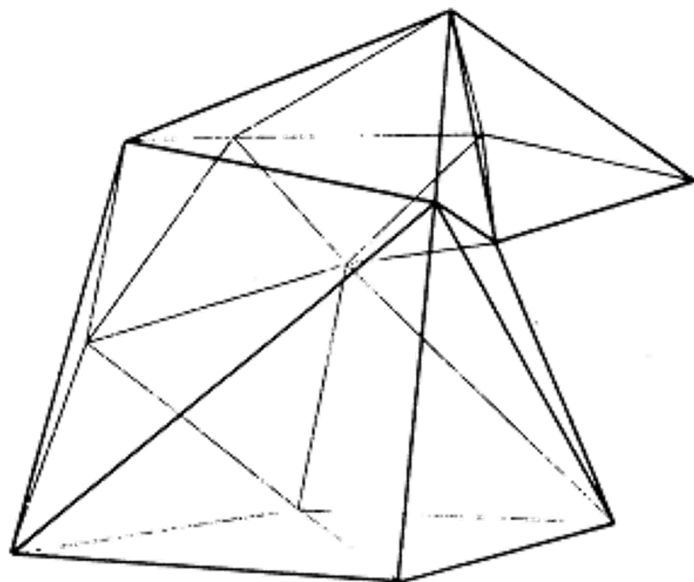
- 三角形格子上的のBスプラインに基づいて設計



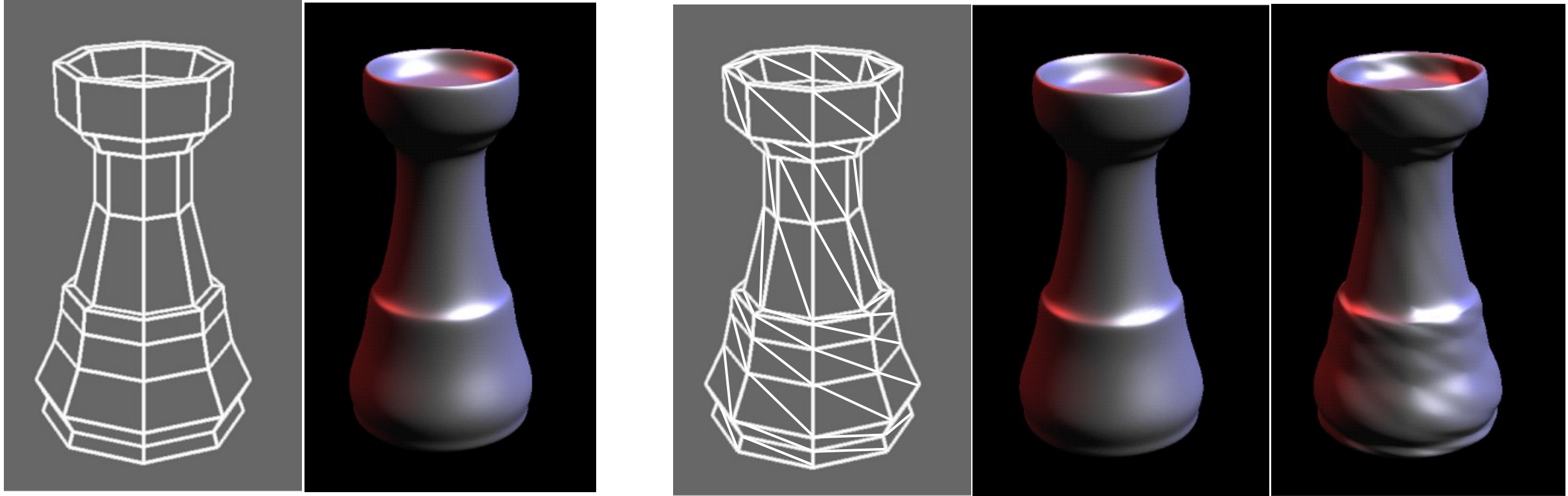
- 特異点以外では C^2 連続な3次曲面

頂点のvalenceが6でない場合

→ 難解な理論に基づいた式 (Loopの論文を参照)



Catmull-Clark法とLoop法の比較



Catmull-Clark

Loop

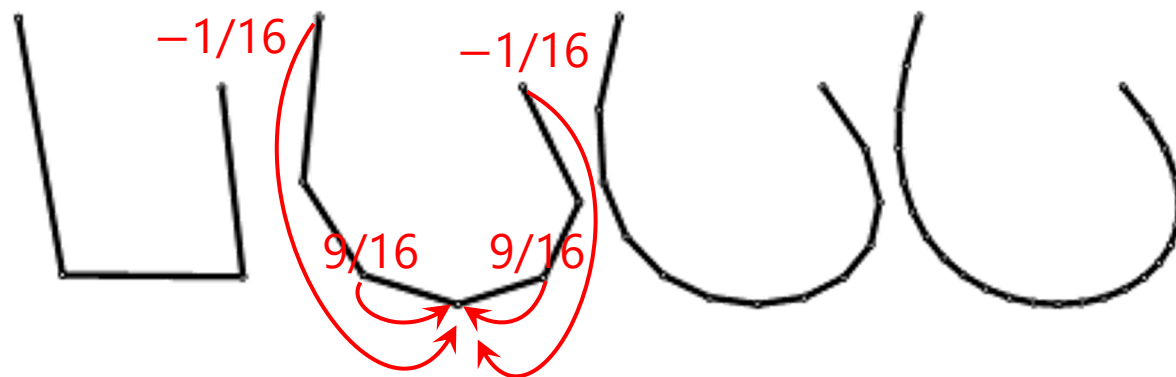
Catmull-Clark

- CG業界ではCatmull-Clark法が圧倒的にポピュラー
 - 四角形メッシュだと二つの主曲率方向を自然に表せる

その他のサブディビジョン手法

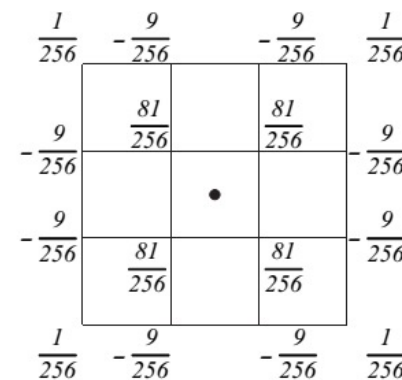
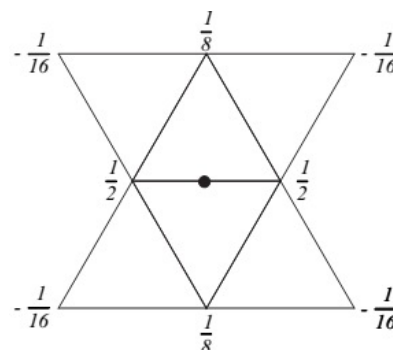
- Four-point法

- 制御点を通る (interpolating)
 - \leftrightarrow approximating
- 多項式として表現できない (?)
- C^1 連続
- 曲面バージョン：Butterfly法



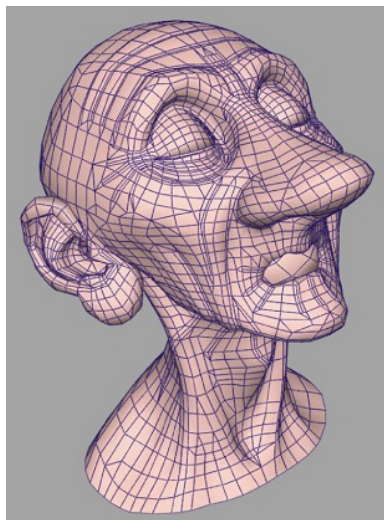
- この他にも亜種が多数存在

- Kobbelt法
- $\sqrt{3}$ 法
- etc...



Geri's Game (Pixar, 1997)

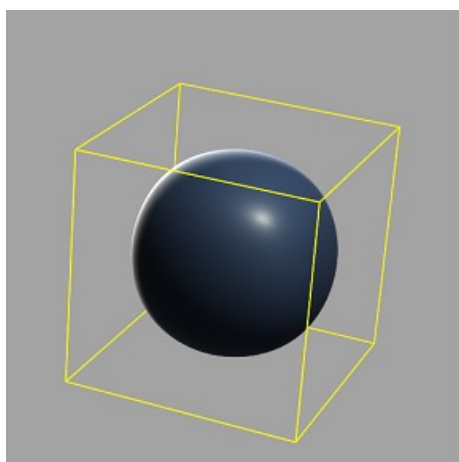
- サブディビジョンを使った最初の映画
- それ以前 (Toy Story) は Bスプラインで多大な労力をかけていた



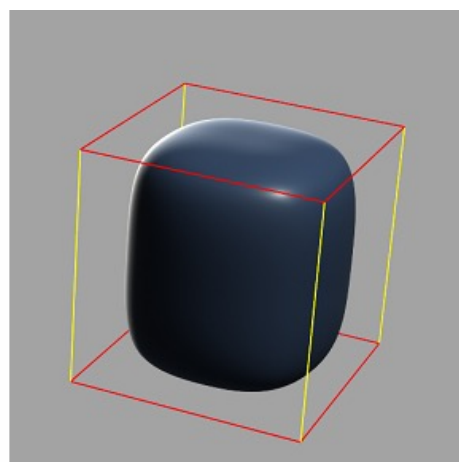
<https://www.youtube.com/watch?v=9IYRC7g2ICg>

滑らかさの制御

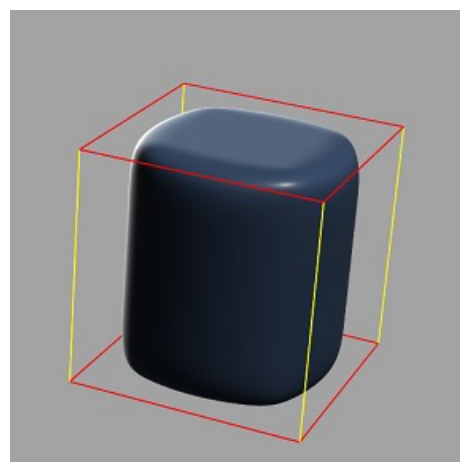
- サブディビジョンのルールを少し変えると、鋭いエッジを表現できる



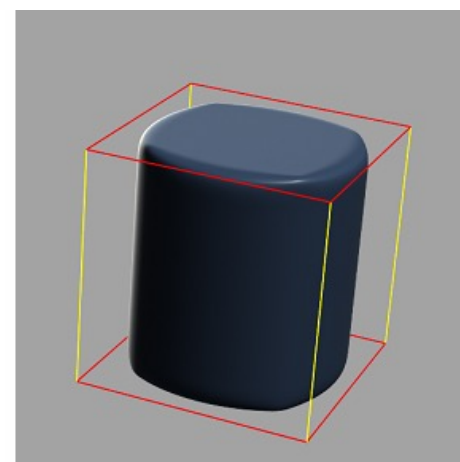
sharpness=0



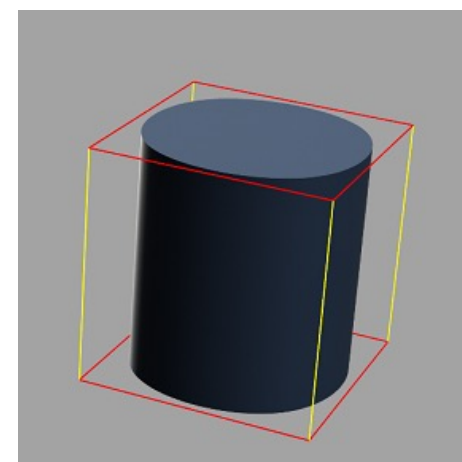
sharpness=1



sharpness=2



sharpness=3



sharpness= ∞

滑らかさの制御

- サブディビジョンのルールを少し変えると、鋭いエッジを表現できる



サブディビジョンの解説資料

- Smooth Subdivision Surfaces Based on Triangles [Loop, **MSc. Thesis 87**]
 - Doo-Sabin法やCatmull-Clark法を含め、考え方を丁寧に図解
 - 間違いがあるので注意：
<http://www.cs.berkeley.edu/~sequin/CS284/TEXT/LoopErrata.txt>
- Subdivision for Modeling and Animation [SIG00 Course]
 - サブディビジョンの概説としては最も有名。でも微妙に難解
 - <http://www.cs.nyu.edu/~dzorin/sig00course/>
- OpenSubdiv from research to industry adoption [SIG13 Course]
 - <http://dx.doi.org/10.1145/2504435.2504451>
- CEDEC2015 サブディビジョンサーフェスのすべてがわかる
 - https://docs.google.com/presentation/d/1mOjFkOkGmZWMiYTOJNRfU_zCbTxUdr2hIDaXE65pxDU
 - OpenSubdivの開発に携わった手島 孝人氏による解説

ハーフエッジデータ構造

頂点リストと面リストによるメッシュ表現

OFF file format

```

OFF
8 6 0
-0.5 -0.5 0.5
0.5 -0.5 0.5
-0.5 0.5 0.5
0.5 0.5 0.5
-0.5 0.5 -0.5
0.5 0.5 -0.5
-0.5 -0.5 -0.5
0.5 -0.5 -0.5
4 0 1 3 2
4 2 3 5 4
4 4 5 7 6
4 6 7 1 0
4 1 7 5 3
4 6 0 2 4
    
```

ジオメトリ情報

トポロジ情報

← 頂点数、面数

← 0番目の頂点の xyz 座標

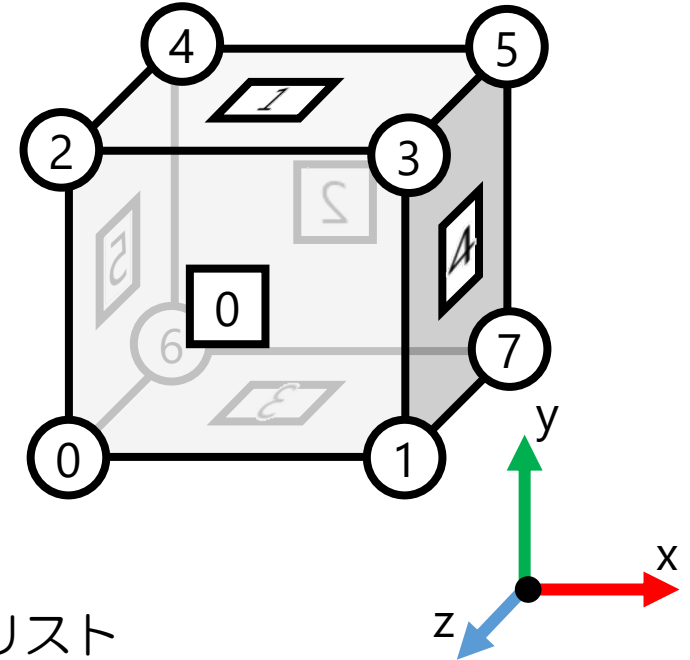
⋮

← 7番目の頂点の xyz 座標

← 0番目の面の頂点数と頂点インデックスリスト

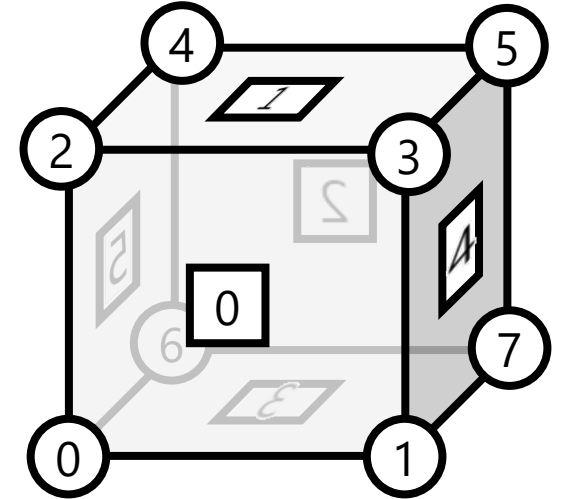
⋮

← 5番目の面の頂点数と頂点インデックスリスト



頂点リストと面リストによるメッシュ表現

- メッシュ処理 (サブディビジョン等) で使う情報
 - ある頂点に隣接する頂点の集合
 - ある面に隣接する面の集合
 - あるエッジの両端の頂点
 - あるエッジの両側の面
 - etc...



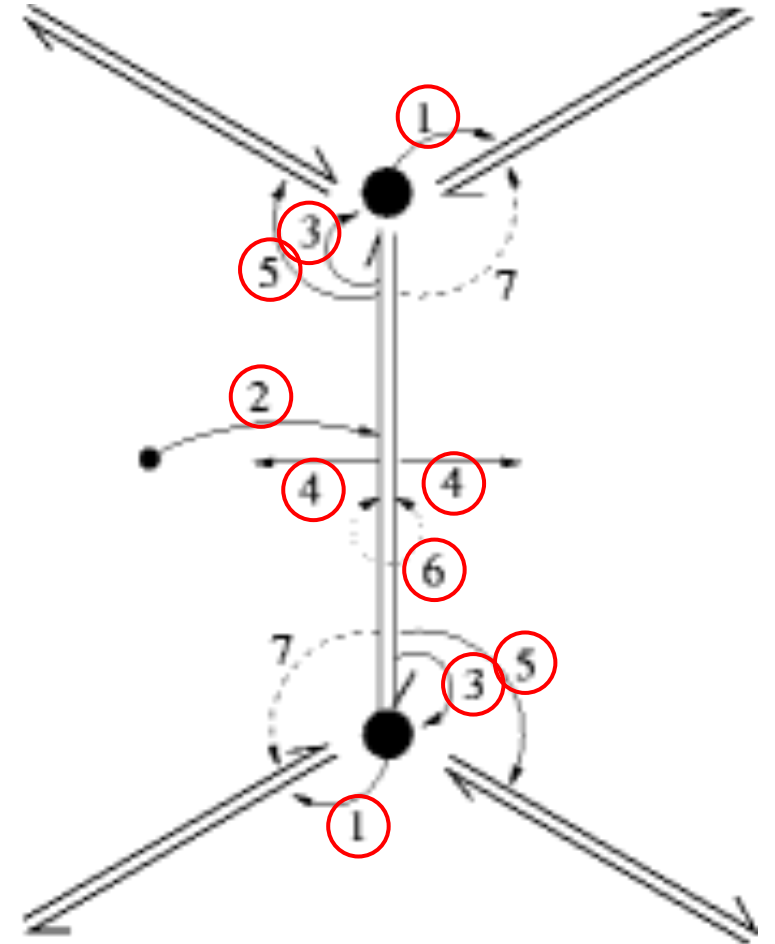
- 「配列の配列」で保持しても良いが、メモリ消費が大きい ☹

ハーフエッジデータ構造

- リンク情報を保持：
 - (1) 頂点 → その頂点から出るハーフエッジの一つ
 - (2) 面 → その面を構成するハーフエッジの一つ
 - (3) ハーフエッジ → 行き先の頂点
 - (4) ハーフエッジ → それが構成する面
 - (5) ハーフエッジ → 次のハーフエッジ
 - (6) ハーフエッジ → 反対側のハーフエッジ
- ある面の周りの要素をループ：

(2) → (5) → (5) → ...
- ある頂点の周りの要素をループ：

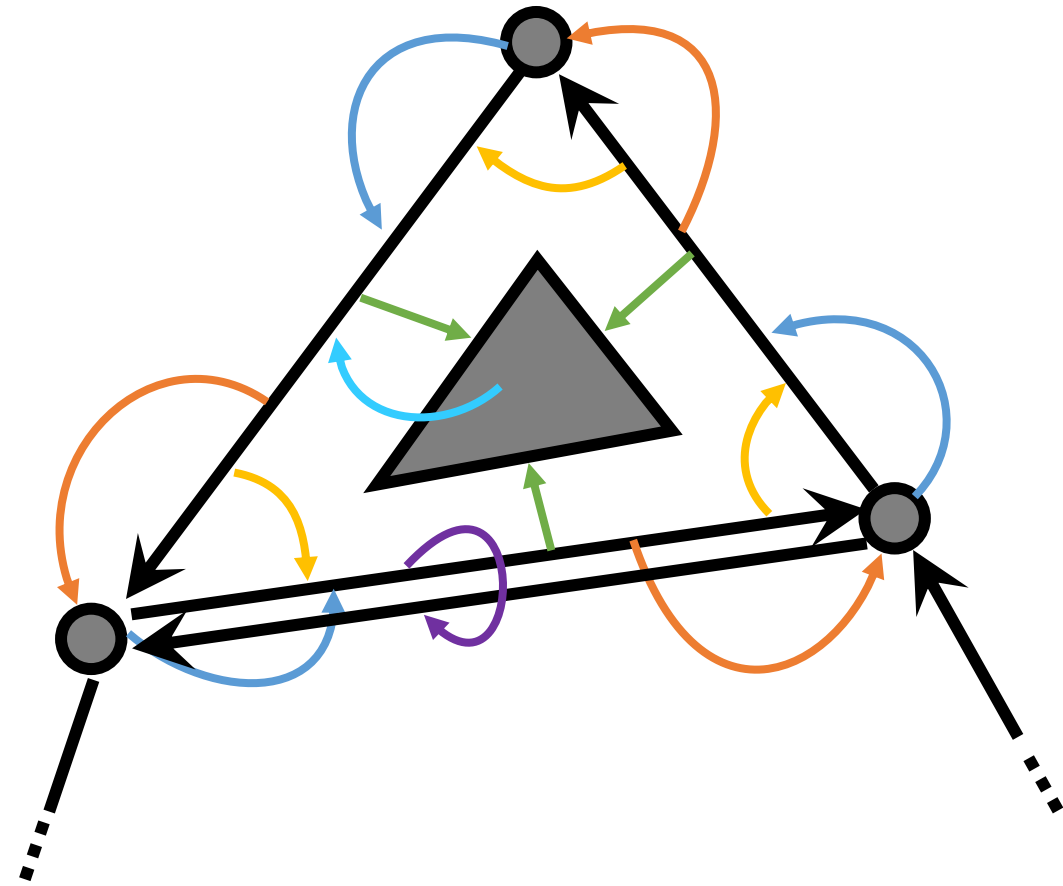
(1) → (6) → (5) → (6) → (5) → ...



<http://www.openmesh.org/>

面を追加する際の処理

- ハーフエッジを生成
- 頂点→ハーフエッジをリンク (1)
- ハーフエッジ→頂点をリンク (3)
- 次のハーフエッジをリンク (5)
- ハーフエッジ→面をリンク (4)
- 面→ハーフエッジをリンク (2)
- ハーフエッジ→反対向きハーフエッジを探してリンク (6)



論文

- Recursively generated B-spline surfaces on arbitrary topological meshes [Catmull,Clark,CAD78]
- A 4-point interpolatory subdivision scheme for curve design [Dyn,Levin,CAGD87]
- A butterfly subdivision scheme for surface interpolation with tension control [Dyn,Levine,Gregory,TOG90]
- Sqrt(3)-subdivision [Kobbelt,SIGGRAPH00]
- Exact evaluation of Catmull-Clark subdivision surfaces at arbitrary parameter values [Stam,SIGGRAPH98]
- Interactive multiresolution mesh editing [Zorin,Schroder,Sweldens,SIGGRAPH97]
- Interpolating subdivision for meshes with arbitrary topology [Zorin,Schroder,Sweldens,SIGGRAPH96]